

**UNIVERSIDAD AUTÓNOMA DE BAJA CALIFORNIA  
FACULTAD DE MEDICINA MEXICALI  
COORDINACIÓN DE INVESTIGACIÓN Y POSGRADO**



**“Utilidad del índice neutrófilo-linfocitario como factor diagnóstico para infarto agudo al miocardio en el Servicio de Urgencias Adultos, del Hospital General de Mexicali, en el periodo de septiembre/2010 a marzo/2020”**

**TRABAJO TERMINAL**

QUE PARA OBTENER EL DIPLOMA DE LA ESPECIALIDAD EN

**MEDICINA DE URGENCIAS**

P R E S E N T A

**RODRÍGUEZ VERA MARINA MICHELLE**

ASESOR DE TRABAJO FINAL: Dr. Vaca Zepeda Pablo

NUMERO DE REGISTRO: 02-01-HGMXL/UR//2021-09-2021-293

Mexicali, Baja California

Mayo de 2022

## ABREVIATURAS

|                |   |
|----------------|---|
| <b>CPK-MB</b>  | Creatinfosfoquinasa fracción MB   |
| <b>cT</b>      | Troponinas cardiacas  |
| <b>cTnI</b>    | Troponina cardiaca isoforma I   |
| <b>cTnT</b>    | Troponina cardiaca isoforma T   |
| <b>GRACE</b>   | Escala de predicción de riesgo de muerte a los 6 meses en SCA                 |
| <b>hsTnT</b>   | Troponina cardiaca de alta sensibilidad, isoforma T,                          |
| <b>IAM</b>     | Infarto agudo al miocardio  |
| <b>IAMCEST</b> | Infarto agudo al miocardio con elevación del ST                               |
| <b>IAMSEST</b> | Infarto al miocardio sin elevación del ST                                     |
| <b>INL</b>     | Índice neutrófilo linfocitario  |
| <b>MACEs</b>   | Mortalidad y eventos cardiacos adversos mayores                               |
| <b>SCA</b>     | Síndrome Coronario Agudo  |
| <b>SCASEST</b> | Síndrome coronario agudo, sin elevación del ST                                |
| <b>TIMI</b>    | Trombolisis en infarto al miocardio. Escala que predice mortalidad a 30 días. |

## CONTENIDO

|                            |    |
|----------------------------|----|
| Abreviaturas               | 2  |
| Contenido                  | 3  |
| Índice de tablas           | 4  |
| Índice de figuras          | 5  |
| Resumen                    | 6  |
| Introducción               | 7  |
| Marco Teórico              | 8  |
| Antecedentes               | 11 |
| Planteamiento del problema | 13 |
| Justificación              | 14 |
| Objetivos                  |    |
| Objetivo general           | 14 |
| Objetivos específicos      | 14 |
| Material y métodos         |    |
| Diseño                     | 15 |
| Criterios de selección     | 15 |
| Plan de análisis           | 17 |
| Aspectos Estadísticos      | 17 |
| Aspectos Éticos            | 19 |
| Resultados                 | 20 |
| Análisis estadístico       | 26 |
| Discusión                  | 28 |
| Conclusiones               | 29 |
| Bibliografía               | 30 |
| Anexos                     | 34 |

## INDICE DE TABLAS

|  |    |
|--|----|
| <b>Tabla 1.</b> Tabla de contingencia                  | 27 |
| <b>Tabla 2.</b> Valores obtenidos (OR, S, E, VPP, VPN) | 27 |

## ÍNDICE DE FIGURAS

|  |    |
|--|----|
| <b>Gráfico 1.</b> Cinética de enzimas cardíacas                              | 11 |
| <b>Gráfica 2.</b> Síndrome coronario agudo                                   | 22 |
| <b>Gráfica 3.</b> Síndrome coronario agudo, por género                       | 23 |
| <b>Gráfica 4.</b> Mujeres con IAM, por grupo etario                          | 23 |
| <b>Gráfica 5.</b> Mujeres NO IAM, por grupo etario                           | 24 |
| <b>Gráfica 6.</b> Hombres con IAM, por grupo etario                          | 24 |
| <b>Gráfica 7.</b> Hombres NO IAM, por grupo etario                           | 25 |
| <b>Gráfica 8.</b> Alteraciones del EKG encontradas en la población estudiada | 25 |
| <b>Gráfica 9.</b> Comorbilidades asociadas                                   | 26 |
| <b>Gráfica 10.</b> Curva de ROC  | 26 |

## RESUMEN

**INTRODUCCIÓN:** El Síndrome Coronario Agudo (SCA) en su presentación como IAMCEST, presenta peor pronóstico con una mayor zona de isquemia, requiriendo terapia de reperfusión.<sup>1-5</sup> Se propone el índice neutrófilo-linfocitario como una alternativa de bajo costo, sencillo, de mayor rapidez, que está siendo estudiado como diagnóstico y probablemente pronóstico, para estos pacientes, pudiendo ayudar a diferenciar zonas de infarto establecidos.<sup>7-8, 22</sup>

**OBJETIVO GENERAL:** Determinar la utilidad del índice neutrófilo-linfocitario como factor diagnóstico para Infarto Agudo al Miocardio en el Servicio de Urgencias Adultos del Hospital General de Mexicali en el periodo de Septiembre/2010 a Marzo/2020.

**OBJETIVOS ESPECÍFICOS:** Caracterizar las comorbilidades presentadas por los pacientes con diagnóstico de SCA, caracterización de la muestra según edad y sexo; estratificar en SCACEST y SCASEST según electrocardiograma al ingreso, confirmar IAMCEST o IAMSEST según valores de CPK-MB y Troponina a las 24 horas del inicio del cuadro; determinar el índice neutrófilo-linfocitario al ingreso, y determinar la sensibilidad y especificidad del índice neutrófilo-linfocitario.

**MATERIAL Y MÉTODOS:** Se realizó un estudio retrospectivo, transversal, comparativo, con 542 pacientes, donde se calculó el índice neutrófilo/linfocitario a pacientes con diagnóstico de IAM, en un periodo comprendido entre septiembre del 2010 a marzo del 2020, midiendo su sensibilidad y especificidad mediante curvas de ROC.

**RESULTADOS:** Se incluyen 523 pacientes, con SCA. Respecto al INL, obtuvimos una media de 5.3, moda de 4 y mediana de 3.9. Se realiza curva de ROC, obteniendo punto de corte de 9.0, con AUC de 0.67, S y E del 26% y 90%, respectivamente; VPP 66% y VPN 62%, OR: 3.38, con un IC del 95% (2.08-5.50), con una  $p < 0.0001$ .

**CONCLUSIÓN:** El INL pudiera ser útil como factor diagnóstico de infarto agudo al miocardio, tomando como corte un valor  $\geq 9.0$ , siendo de utilidad en clínicas y hospitales de primer y segundo nivel, que no cuenten con marcadores de daño miocárdico. Se requieren estudios posteriores, donde se establezca si este valor en conjunto con otros índices ya establecidos, pudieran potenciar su utilidad en el diagnóstico.

## INTRODUCCIÓN

El síndrome coronario agudo (SCA) se subdivide en infarto al miocardio con elevación del ST (IAMCEST), infarto al miocardio sin elevación del ST (IAMSEST) y angina inestable, pudiéndose determinar mediante electrocardiograma y enzimas cardíacas. <sup>1-5</sup>

El IAMCEST presenta peor pronóstico debido a que involucra una mayor zona de isquemia y necesidad inmediata de terapia de reperfusión, en cualquiera de sus modalidades, observando un beneficio al emplear terapia fármaco-invasiva, dentro de las primeras 12hr de iniciado el cuadro clínico. <sup>1,3</sup>

El índice neutrófilo-linfocitario es sencillo y de bajo costo; y está siendo estudiado para diagnóstico, pronóstico y prever complicaciones en pacientes con infarto agudo al miocardio. Se calcula de la siguiente manera:

$$\text{INL} = (\text{Neutrófilos } [10^6/1000]) / (\text{Linfocitos } [10^6/1000])$$

Podría ayudar a diferenciar eventos isquémicos con zonas de infarto establecidos (IAMCEST), de eventos isquémicos sin zonas de infarto establecido (SCASEST), cuando el electrocardiograma no cumple con los criterios diagnósticos actuales. <sup>6-8</sup>

## MARCO TEÓRICO

El síndrome isquémico coronario agudo (SICA), se puede subclasificar dependiendo de los cambios electrocardiográficos, como: SICA sin elevación del ST (SICASEST), y SICA con elevación del ST (SICACEST). Este último se asocia con mayor frecuencia a lesión miocárdica.<sup>6</sup>

Si durante el estudio del SICASEST no se encuentra elevación de biomarcadores (CPK-MB o troponina), se clasifica como angina inestable.<sup>1-6</sup>

Infarto agudo al miocardio, histológicamente, se define por la muerte celular de los miocitos, secundaria a una isquemia prolongada, debido a múltiples factores. Los primeros cambios son la disminución de los depósitos de glucógeno en los cardiomiocitos, posteriormente la aparición de miofibrillas relajadas y luego la ruptura del sarcolema. Todo esto puede ser detectado en los primeros 10-15 minutos de isquemia.<sup>6</sup>

En los modelos experimentales, la lesión miocárdica progresa desde el subendocardio hasta el subepicardio durante varias horas, condicionando cambios electrocardiográficos dinámicos, dependientes de la localización y profundidad del tejido afectado, relacionándose con la presencia o ausencia de elevación del segmento ST en el electrocardiograma.<sup>1-4</sup>

La cuarta definición universal de IAM establece que sólo las troponinas cardíacas (cT), en cualquiera de sus isoformas "I" (TnI) o "T" (TnT), pueden establecer el diagnóstico de lesión miocárdica (y consecuentemente IAM).<sup>6</sup> Sin embargo, en algunas guías de práctica clínica, se menciona la opción de utilizar isoenzima MB de la Creatin fosfoquinasa (CK-MB) como biomarcador cuando no se tenga la posibilidad de realizar la medición de cT, de modo que el diagnóstico de IAM se establece con elevación de cT o CK-MB por encima del percentil 99 del límite superior de referencia.<sup>1,2</sup>

Lamentablemente la elevación de biomarcadores también es dependiente del tiempo de evolución del padecimiento, aunque con una cinética considerablemente diferente entre cada una de ellas; teniendo un tiempo de inicio, pico y descenso aproximado ya establecido, como se muestra en el gráfico 1.<sup>9-11</sup>

Así pues, en el caso de las cT, el tiempo estimado para obtener la primera elevación significativa es de 3-6hrs, con un pico entre las 12-24hrs. En cuanto a los valores de CK-MB empiezan a elevarse entre las 4-9hrs, con un pico a las 24hrs.<sup>11</sup>

El tiempo de retraso de la elevación de biomarcadores entra en conflicto directo con la necesidad de realizar terapia de reperfusión en menos de 3-6hrs desde el inicio del cuadro clínico, considerándose en ocasiones iniciar el tratamiento a pesar de los valores normales de biomarcadores, asumiendo que aún no transcurre el tiempo suficiente para su elevación.<sup>9</sup>

El inicio de un tratamiento precoz, en cualquiera de sus modalidades, interrumpe el ciclo de daño isquémico, y disminuyen la posibilidad de desarrollar disfunción miocárdica.<sup>1,3,6</sup>

En la actualidad se han estudiado múltiples herramientas para la determinación del pronóstico y la supervivencia a largo plazo, siendo la escala de GRACE uno de los más difundidos. Sin embargo, ninguno de ellos es aplicable para el diagnóstico precoz.<sup>7,8,12-20</sup>

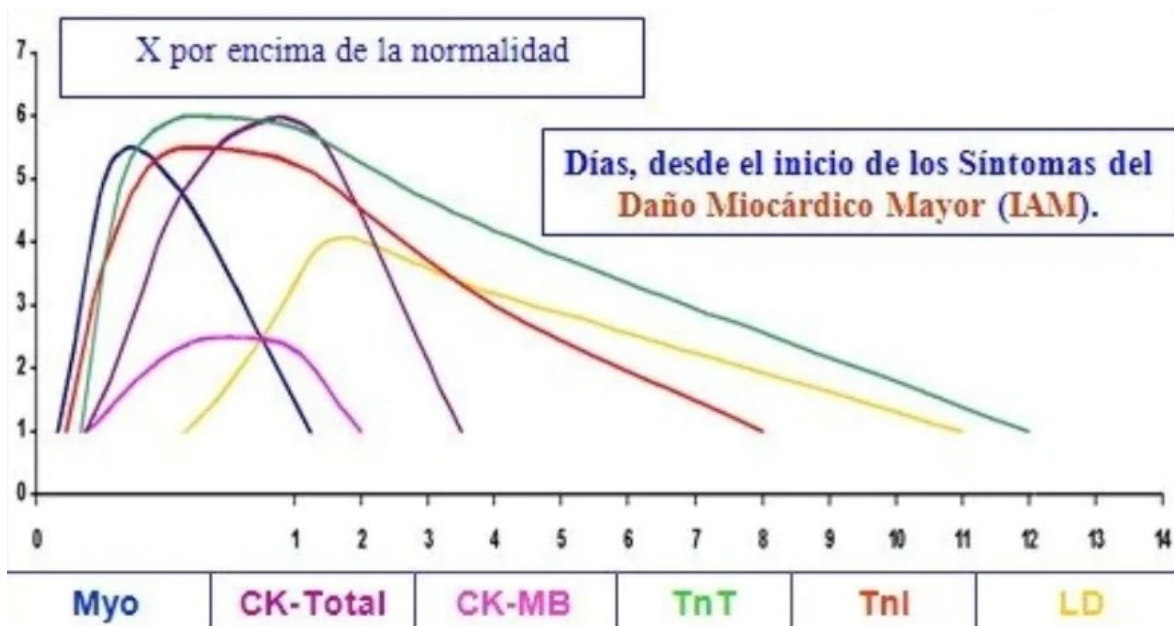
Existen diversos índices estudiados hasta el momento, para establecer la gravedad del infarto. El más conocido hasta el momento, es el índice Killip-Kimball laboratorial o también conocido como índice leucoglucémico, que ha sido relacionado como un factor independiente de mortalidad postinfarto, gravedad del cuadro clínico, y falla en la respuesta a la fibrinólisis. Actualmente en estudio para diagnóstico.<sup>19-21</sup>

Los mediadores proinflamatorios liberados por las células espumosas que conforman la placa ateromatosa de la pared endotelial en las arterias coronarias, desempeñan un rol fundamental en la amplificación de la respuesta inflamatoria, y por lo tanto, en la

progresión y vulnerabilidad de las lesiones. Esta respuesta innata es posteriormente modificada por la inmunidad adaptativa (específica de antígeno), en la que los Linfocitos B (inmunidad humoral), y en mayor cantidad los Linfocitos T colaboradores, citotóxicos y reguladores, suprimen o amplifican la respuesta inflamatoria de la placa. <sup>21</sup>

El índice neutrófilo-linfocitario se pudiera considerar un reflejo del equilibrio entre la respuesta inmunitaria innata y la adaptativa (neutrofilia de la inflamación, y la linfopenia relativa de la respuesta al estrés), representando un predictor del riesgo cardiovascular, con la posibilidad de aplicarse al diagnóstico temprano. <sup>21</sup>

**Gráfico 1.** Cinética de las diferentes enzimas cardíacas. Tomado desde: K. Thygesen et al. Cuarta definición universal del infarto al miocardio. Rev Esp Cardiol.



## ANTECEDENTES

Papa A., et al. En 2008, publicaron los resultados de un estudio prospectivo con 442 pacientes italianos, diagnosticados con enfermedad arterial coronaria, por angiografía, donde se relacionó un INL mayor a **2.42**, como un factor independiente de muerte por causas cardíacas, a 3 años de seguimiento ( $p = <0.0001$ ). <sup>7</sup>

Díaz-Chirón, et al. En 2017, estudiaron la asociación del INL con el tamaño del infarto del miocardio, en pacientes con SCACEST, incluyendo 220 pacientes infartados, tratados de forma exitosa con angioplastia primaria, con flujo final TIMI 3 en un hospital de España, donde se obtuvo el hemograma al ingreso hospitalario; observando que los pacientes con IAM extensos presentaban INL superiores, comparado con los que tenían IAM no extensos (**3,96** (2,31-7,09), frente a **2,31** (1,4-4,65),  $p < 0,001$ ), independientemente de los factores de riesgo cardiovascular. <sup>8</sup>

Tahto E, et al. En 2017, además de Mustafa U, et al. En 2018, (Bosnia y Turquía, respectivamente), investigaron INL en pacientes con IAM, obteniendo el mismo resultado en ambos estudios (valor de corte INL **3.96**), donde el índice mencionado tuvo una correlación positiva con marcadores de necrosis cardíaca como CPK-MB y hsTnI ( $p < 0,001$  en ambos), siendo más significativo en pacientes con IAMEST. <sup>22, 23</sup>

Un metaanálisis publicado en 2018, por Chao-Hui Dong, et al. Relacionó INL con mortalidad y eventos cardíacos adversos mayores (MACEs), en pacientes infartados (con y sin elevación del ST). Se incluyeron 8 estudios (China, India, Italia, Turquía y EUA), con un total de 9406 pacientes, calculando INL previo al tratamiento. Se asoció el índice como marcador de mal pronóstico en la predicción de la mortalidad y eventos cardíacos adversos mayores, a medio y largo plazo (OR 1,26; IC del 95%: 1,13–1,41). Además, se asoció con mayor mortalidad intrahospitalaria (OR 6,39; IC del 95%: 1,49–27,38,  $p < 0,001$ ). <sup>24</sup>

Rodríguez y cols. En 2020, valoraron el INL como diagnóstico en el IAM tipo 4a, estudiando a 55 pacientes con SCASEST a los que se les realizó intervencionismo coronario en un hospital de Cuba. Encontrando una asociación moderadamente positiva entre el índice y los biomarcadores clásicos, CK-MB y troponina T. Un índice neutrófilo-linfocitario  $\geq 3,5$  es el valor que más se acerca a la predicción de riesgo de infarto 4a (AUC 0.502,  $p=0.04$ ; OR =1.26 (1.02 – 1.96),  $p=0.04$ ).<sup>21</sup>

Actualmente no fue posible encontrar en la literatura mexicana, publicaciones que aborden dicho tema, sin embargo, es amplia la cantidad de estudios en nuestro país asociando INL con sepsis abdominal, síndrome metabólico, neumonía adquirida en la comunidad, cirugía cardíaca, e incluso infección por COVID-19, existiendo heterogeneidad en los resultados.<sup>25-29</sup>

## PLANTEAMIENTO DEL PROBLEMA

Las enfermedades cardiovasculares son la causa número uno de mortalidad en México y el mundo, hasta agosto del 2020, según las cifras del INEGI. Destacan las enfermedades isquémicas del corazón, que presentan una alta incidencia entre la población que fallece a partir de los 45 años.<sup>30</sup> Disminuyendo la calidad y esperanza de vida de nuestra población, la cantidad años de vida útil, sin olvidar la necesidad de diversos fármacos o dispositivos para mejorar la sintomatología de la cardiopatía isquémica crónica, y múltiples internamientos hospitalarios de larga estancia, por descompensación, con los gastos hospitalarios que esto conlleva.

Cualquiera de las modalidades de terapia de reperfusión, por sí solas, son costosas, pero a pesar de esto, no son comparables a la sumatoria de los gastos mencionados previamente.

La terapia de reperfusión ya sea en sus modalidades de farmacoinvasiva (trombolisis + angioplastia) o invasiva primaria (angioplastia primaria) suponen un gran margen de posibles complicaciones (principalmente hemorrágicas), aún con su apropiada administración.

Los marcadores de lesión miocárdica actuales son de presentación tardía, con relación al tiempo, para poder administrar terapia de reperfusión, y no son útiles en el diagnóstico oportuno de IAMCEST.

La presentación clínica es subjetiva y variable entre paciente y paciente, así como la interpretación dada entre médicos.

Los criterios electrocardiográficos clásicos para el diagnóstico <sup>1,3,6</sup>, también pueden observarse en pacientes con cardiopatía isquémica preestablecida, no ameritando terapia de reperfusión, y convirtiendo a esta en un riesgo potencial al ser administrada.

## **JUSTIFICACIÓN**

El índice neutrófilo-linfocitario es obtenido al ingreso del paciente desde una biometría hemática, requiriendo de pocos minutos para su obtención, y podría servir como auxiliar para establecer el diagnóstico de infarto agudo al miocardio, evitando el retraso para el tratamiento definitivo. Es una prueba barata, fácilmente reproducible, no invasiva, con buena relación costo/beneficio, que facilita la toma de decisiones y la optimización de los recursos hospitalarios.

## **PREGUNTA DE INVESTIGACIÓN**

¿Es el índice neutrófilo-linfocitario útil como factor diagnóstico de infarto agudo al miocardio en pacientes del Hospital General de Mexicali en el Servicio de Urgencias Adultos?

## **OBJETIVO GENERAL**

Determinar la utilidad del índice neutrófilo-linfocitario como factor diagnóstico para infarto agudo al miocardio en el Servicio de Urgencias Adultos del Hospital General de Mexicali en el periodo de Septiembre/2010 a Marzo/2020.

## **OBJETIVOS ESPECÍFICOS**

- Caracterizar las comorbilidades presentadas por los pacientes con diagnóstico de SCA.
- Caracterización de la muestra según edad y sexo.
- Estratificar en SCACEST y SCASEST según electrocardiograma al ingreso.
- Confirmar IAMCEST o IAMSEST según valores de CPK-MB y Troponina a las 24 horas del inicio del cuadro.
- Determinar el índice neutrófilo-linfocitario al ingreso, de cada paciente.
- Determinar la sensibilidad y especificidad del índice neutrófilo-linfocitario.

## **MATERIAL Y MÉTODOS**

DISEÑO: Descriptivo, transversal, retrospectivo, comparativo.

MUESTRA: A conveniencia. Pacientes ingresados en el Servicio de Urgencias Adultos con diagnóstico de síndrome coronario agudo.

TAMAÑO: 542 pacientes.

OBJETO DE ESTUDIO: Base de datos elaborada a partir de la información obtenida del expediente clínico.

FUENTE DE ESTUDIO: Archivo clínico del Hospital General de Mexicali.

INSTRUMENTOS DE ESTUDIO: Base de datos en Excel, capturando género, edad, antecedentes de hipertensión arterial, diabetes mellitus, tabaquismo, enzimas cardíacas y datos electrocardiográficos.

### **CRITERIOS DE INCLUSIÓN:**

- Pacientes mayores de 18 años,
- Pacientes con diagnóstico al ingreso de síndrome coronario agudo,
- Pacientes que cuenten con biometría hemática de ingreso,
- Pacientes que cuenten con medición de Troponina I a las 6 horas, o CPK-MB a las 24 horas del inicio del cuadro clínico.
- Pacientes que cuenten con electrocardiograma de al menos 12 derivaciones, a su ingreso.

### **CRITERIOS DE EXCLUSIÓN:**

- Pacientes con patologías que condicionen alteración en la respuesta inflamatoria:

- Infecciones activas,
  - Patologías autoinmunes,
  - Neoplasias,
  - Uso de medicamentos inmunomoduladores.
- Pacientes referidos de Hospital donde se inicia tratamiento
  - Terapia de reperfusión previa a su ingreso
  - Pacientes con patologías que condicionen incremento en los valores de marcadores de lesión miocárdica:
    - Hepatopatía crónica
    - Nefropatía crónica
    - Insuficiencia cardiaca
    - Antecedente quirúrgico/traumático reciente

### **CRITERIOS DE ELIMINACIÓN:**

- Pacientes que tuvieron un seguimiento menor a 24 horas.
- Pacientes que durante su hospitalización se identifique un proceso que condicione alteración en valores de leucocitos, troponina I ó CPK-MB:
  - Infecciones subclínicas,
  - Lesión renal con datos de cronicidad previamente desconocida,
  - Patologías con modulación de respuesta inmune.

## **PLAN DE ANÁLISIS**

Se realizó la captura de datos obtenidos del expediente clínico del Hospital General de Mexicali, de los pacientes adultos que ingresaron por diagnóstico sugestivo de síndrome coronario agudo, de acuerdo con los criterios de selección descritos. Aquellos a quienes cumplieron con dichos criterios, se les caracterizó de acuerdo con diagnóstico de cardiopatía isquémica, antecedentes, y biometría hemática.

Los datos se plasmaron en una hoja de Excel Microsoft, para su análisis, donde, se calculó el índice neutrófilo-linfocitario de la totalidad de la muestra. Dicha muestra se separó en dos grupos, pacientes infartados, y pacientes no infartados.

Se utilizó estadística descriptiva reportando medidas de tendencia central. Posterior a esto, calculamos Curva de roc y AUC. Se realizó la comparación entre los grupos utilizando chi cuadrada de Mantel y Haenszel para aquellas variables que se establecieron como proporciones. Se estableció significancia estadística un valor de  $p < 0.05$ .

## **ASPECTOS ESTADÍSTICOS**

Se incluyeron 542 pacientes en el estudio de manera retrospectiva, de los cuales, se excluyeron 17 pacientes, debido a que no contaban con biometría hemática a su ingreso. El estudio se realizó con 523 pacientes con diagnóstico de IAM, de acuerdo a los criterios de la Sociedad Europea de Cardiología, tomando el valor de biomarcadores cardiacos a las 12-24hrs de inicio del evento, utilizando hsTncl, obtenida mediante estudio cuantitativo de inmunocromatografía en tubo de ensayo EDTA por medio de RAMP Troponin I Assay procesada en Abbott i1000SR ARCHITECT Plus, con rango mínimo de medición de 0.03ng/mL (rango referencia normal  $\leq 0.1$  ng/mL); y/o CK-MB (rango de referencia normal  $\leq 25$  U/L).

Se recabó hemograma al ingreso, mediante analizador de hematología Cell-Dyn Ruby (hemoglobina, hematocrito, leucocitos, neutrófilos, linfocitos, plaquetas y VPM).

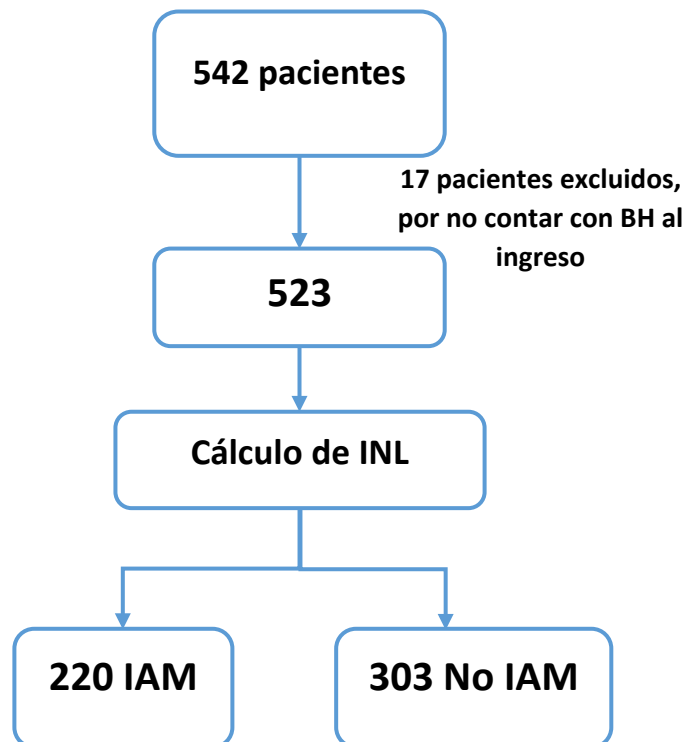
Se calculó el índice neutrófilo-linfocitario (cociente de neutrófilos absolutos entre linfocitos absolutos), mediante la fórmula:

$$\text{INL} = (\text{Neutrófilos } [10^6/1000]) / (\text{Linfocitos } [10^6/1000])$$

Posterior a esto, se calculó moda, media y mediana.

Para calcular sensibilidad y especificidad se utilizaron Curvas de ROC por medio de software estadístico XLSTAT versión 2022 24.1.1252, además de chi cuadrada de Mantel y Haenszel, con la calculadora en línea <https://statpages.info/ctab2x2.html>.

Se formaron dos grupos de estudio: El grupo 1 conformado por pacientes con IAM, y el grupo 2 con pacientes sin IAM, de acuerdo con la cuarta definición universal de infarto al miocardio. Se compararon los distintos índices del hemograma para ambos grupos, y posterior a esto, se identificaron antecedentes de cardiopatía isquémica, DM, HAS y tabaquismo.



## **ASPECTOS ÉTICOS**

Por las características de esta investigación no se requirió del consentimiento informado, únicamente el protocolo se evaluó por el Comité de Ética e Investigación del Hospital General de Mexicali, cuyo registro fue 02-01-HGMXL/UR//2021-09-2021-293.

De acuerdo con el Reglamento de Ley General en Salud en materia de investigación, este estudio se considera con riesgo mínimo.

## RESULTADOS

Se cumplen criterios de selección en 523 pacientes, con síndrome coronario agudo; en base al INL, se encontró una media de 5.3, moda de 4 y mediana de 3.9. Detectamos 220 pacientes con infarto agudo al miocardio (126 pacientes con IAMEST vs 94 pacientes con IAMSEST), con una media de 6.7, moda de 4.0, y mediana de 5.3; y 303 sin infarto (media de 4.4, moda de 2.9, y mediana de 3.2), de acuerdo con el punto de corte de enzimas cardíacas para el laboratorio de esta institución **(gráfica 2)**.

Encontramos que la población de nuestro estudio se compone por 311 hombres entre 19-96 años, 131 con IAM, 180 sin IAM; 212 mujeres entre 30-96 años, 89 con IAM, y 123 sin IAM **(gráfica 3)**.

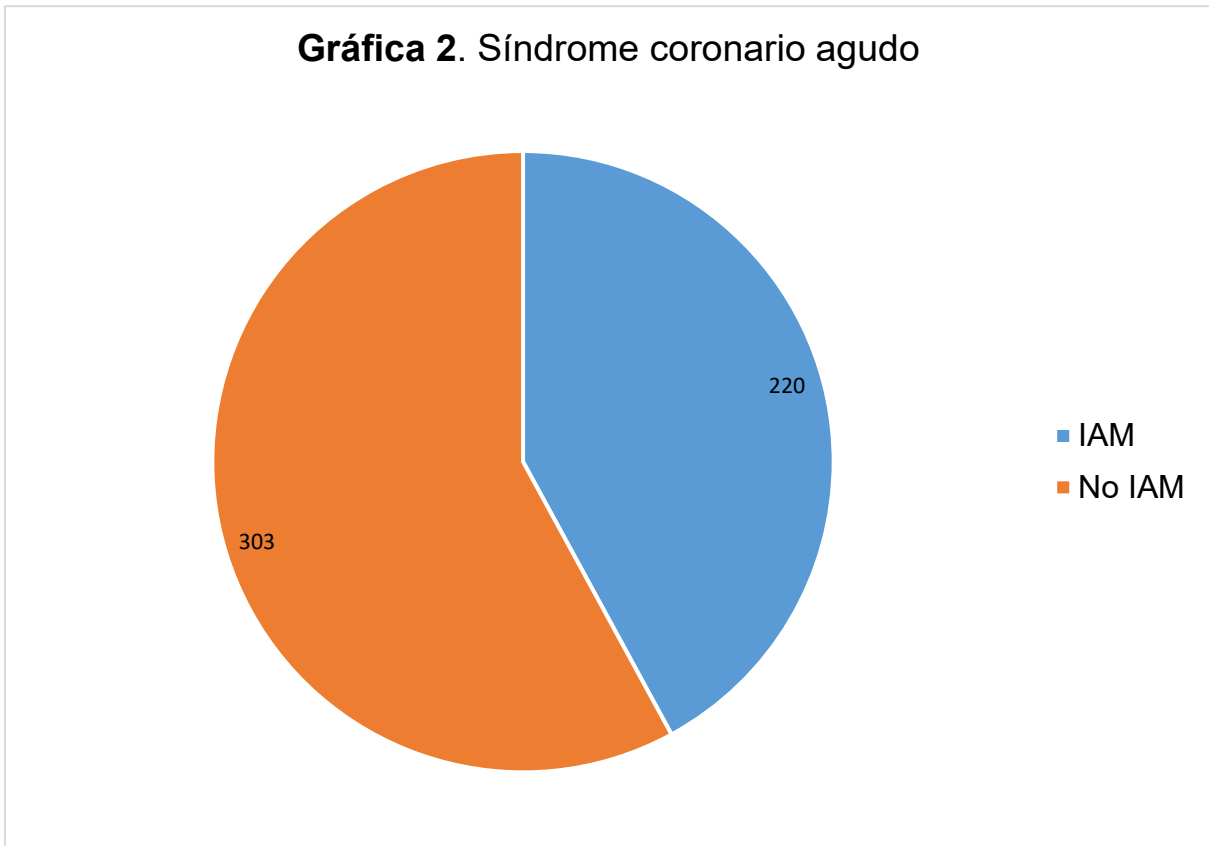
Por grupos etarios, se encontró en el grupo de mujeres con diagnóstico de infarto, 28 de ellas eran  $\leq 54$  años, mientras que, 61 eran  $\geq 55$  años. Del grupo de las mujeres no infartadas, 44 eran  $\leq 54$  años, mientras que, 79 eran  $\geq 55$  años. En el grupo de los hombres con diagnóstico de infarto, 40 de ellos eran  $\leq 54$  años, mientras que, 91 eran  $\geq 55$  años. Del grupo de los hombres no infartadas, 93 eran  $\leq 54$  años, mientras que, 87 eran  $\geq 55$  años **(gráficas 4, 5, 6 y 7)**.

La alteración electrocardiográfica que se encontró con mayor frecuencia fue la elevación del ST, con un total de 130 pacientes (24.8%), 126 de ellos con IAM; seguido de bloqueo de rama izquierda (BRI), con un total de 22 pacientes (4.2%), 12 con IAM; por último, bloqueo de rama derecha (BRD), con un total de 8 pacientes (1.5%), 3 de ellos con IAM **(gráfica 8)**.

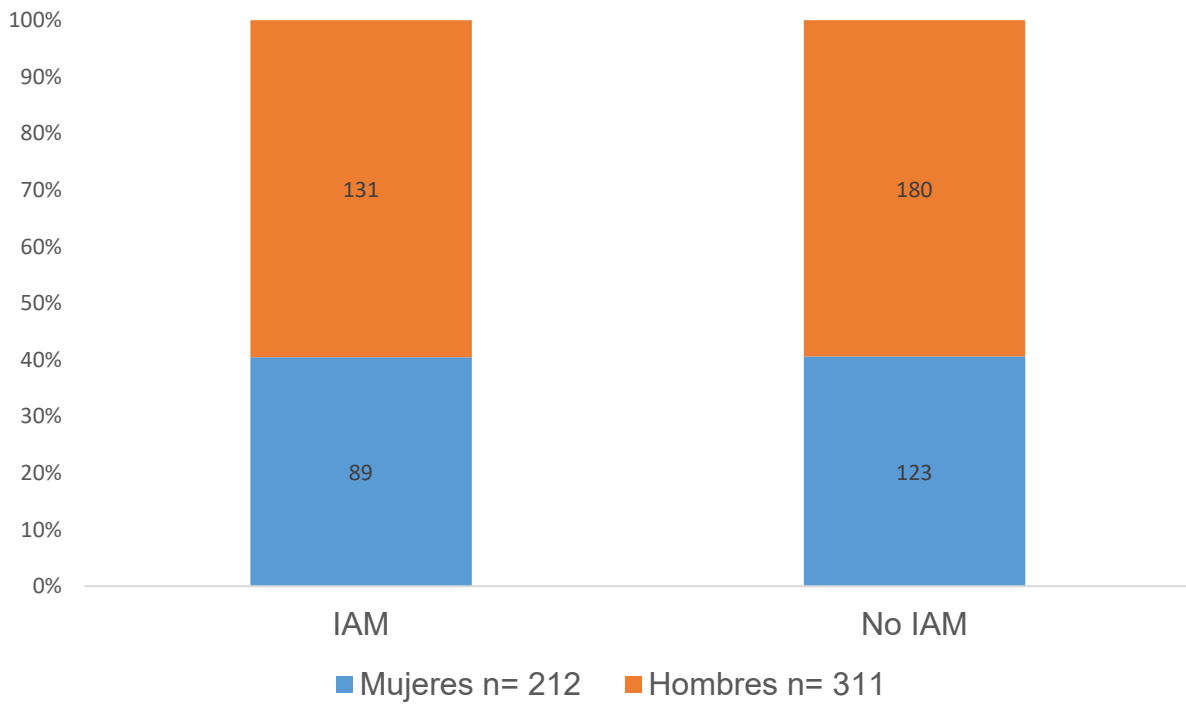
Las comorbilidades detectadas por frecuencia, fueron: Hipertensión arterial sistémica, con 315 pacientes (60%), 124 en la población infartada y 191 de la población de no infartados; diabetes mellitus de cualquier tipo, con un total de 183 pacientes (34.9%), 85 de los IAM, 98 pacientes del grupo de No IAM; 173 pacientes con tabaquismo (33%), 87 pacientes de

IAM, 86 de los no infartados; y por último, 105 pacientes con cardiopatía isquémica previa conocida (20%), 35 del grupo de IAM, y 70 de los no infartados (**gráfica 9**).

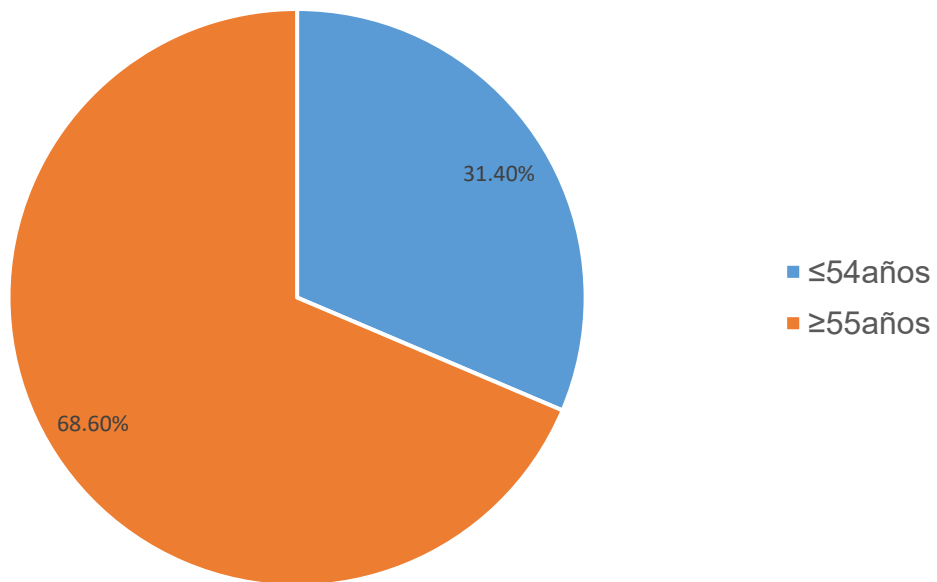
Se realiza curva de ROC, obteniendo punto de corte de 9.0, con AUC de 0.67 (**gráfico 10**). De acuerdo con este valor, realizamos tabla de contingencias de 2x2, obteniendo 58 verdaderos positivos, 29 falsos positivos, 162 verdaderos negativos, y 274 falsos negativos (**tabla 1**). Obteniendo una sensibilidad del 26%, con una especificidad del 90%, VPP 66% y VPN 62%, calculado con una razón de inverosimilitud OR: 3.38, con un IC del 95% (2.08-5.50) (**tabla 2**), con una  $p < 0.0001$ , obtenido por chi cuadrada de Mantel y Haenszel. Se agrega tabla de análisis de ROC, con S y E para cada valor de INL, en el **anexo 4**.



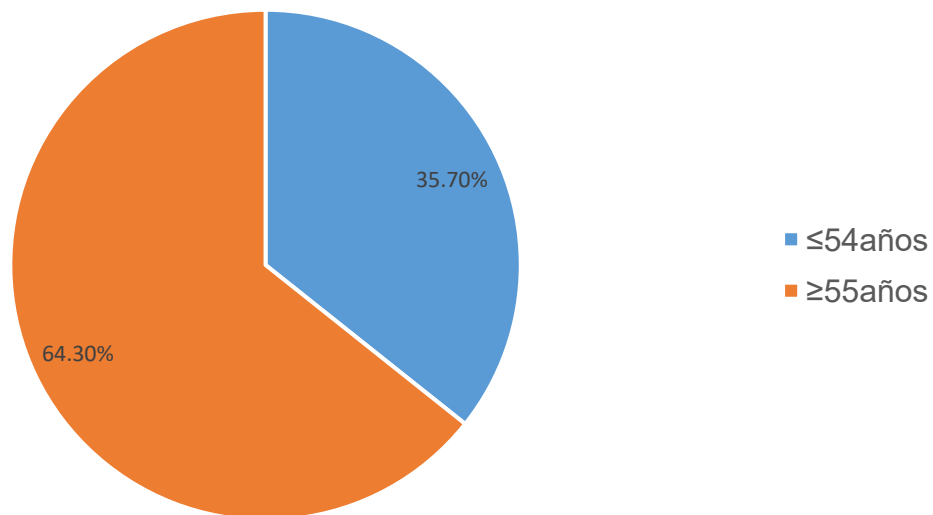
**Gráfica 3. Síndrome coronario agudo, por género.**



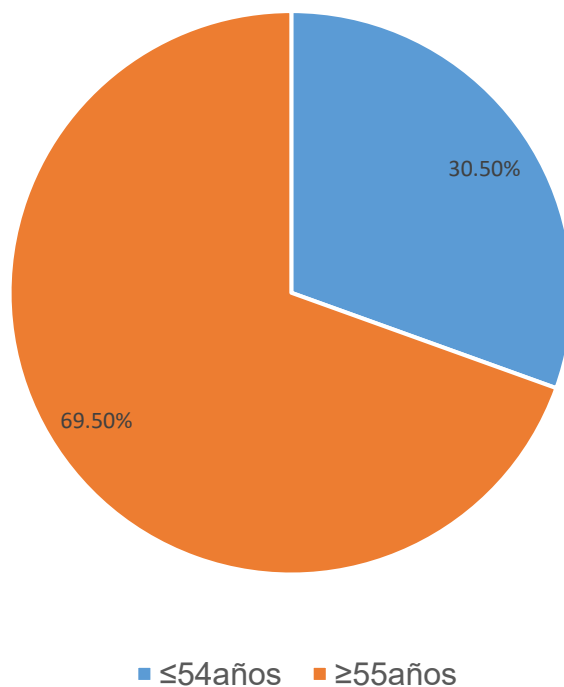
**Gráfica 4. Mujeres con IAM, por grupo etario.  
n=89**



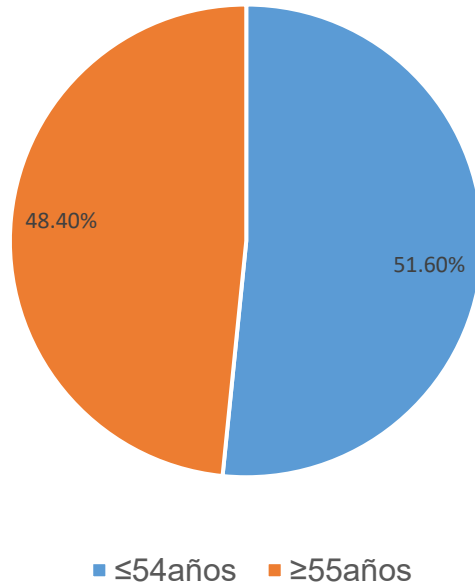
**Gráfica 5. Mujeres NO IAM, por grupo etario.**  
n=123



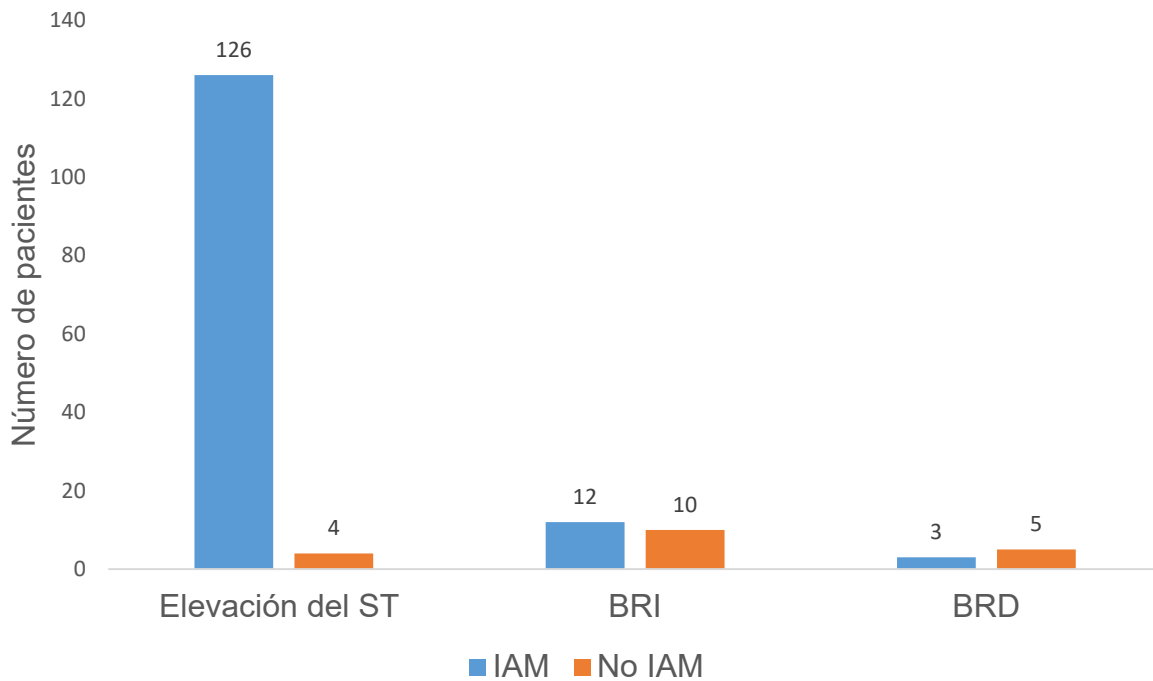
**Gráfica 6. Hombres con IAM, por grupo etario.**  
n=131



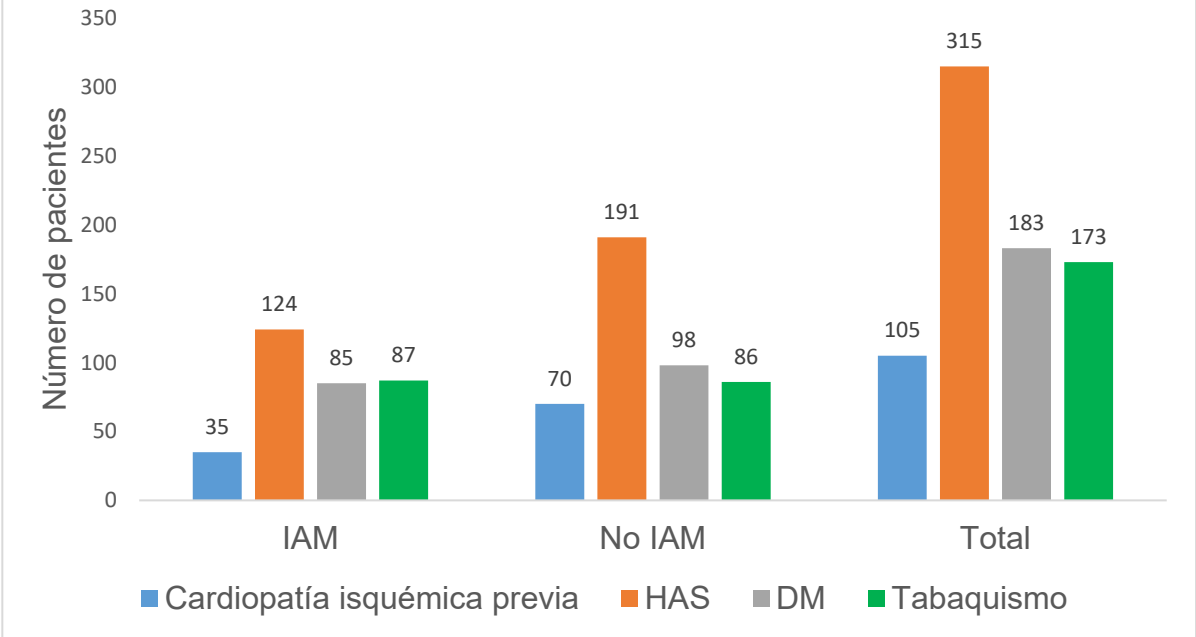
**Gráfica 7. Hombres NO IAM, por grupo etario.**  
n=180



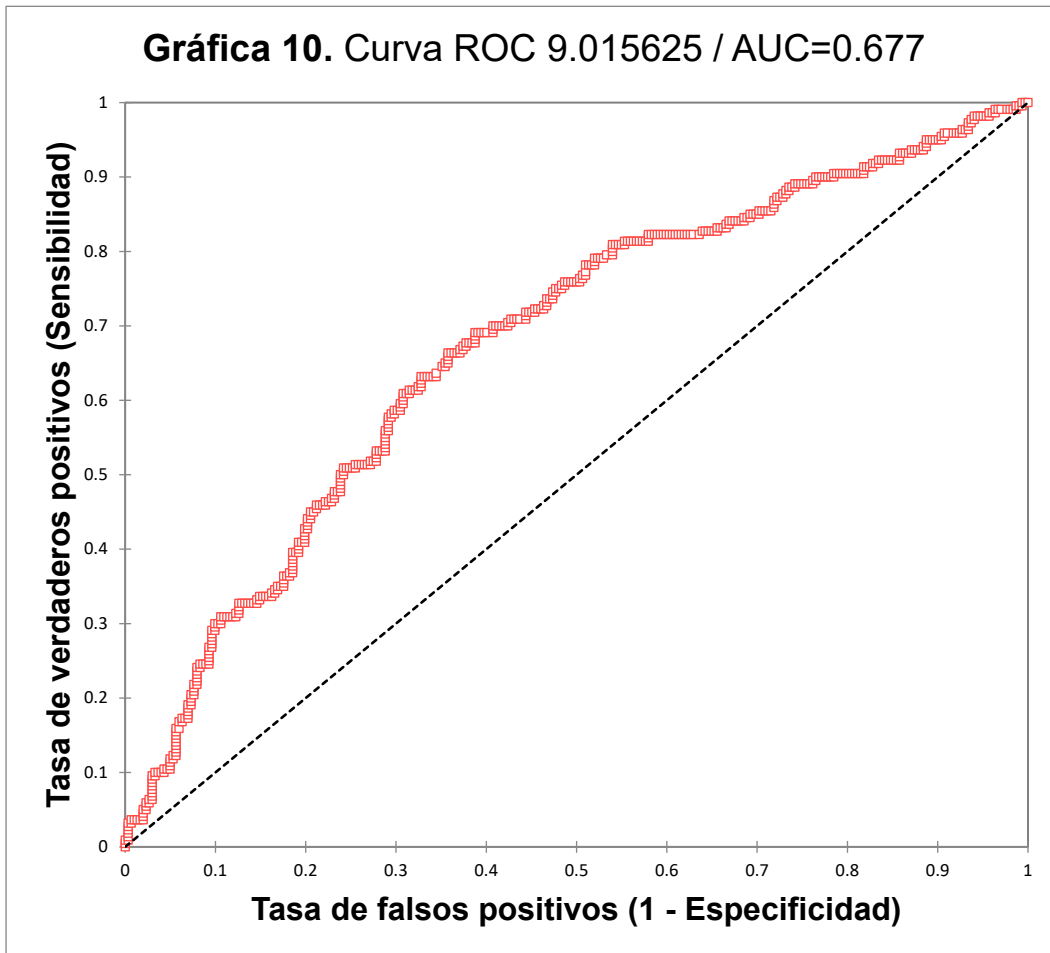
**Gráfica 8. Alteraciones del EKG encontradas en la población estudiada.**



**Gráfica 9. Comorbilidades asociadas.**



**Gráfica 10. Curva ROC 9.015625 / AUC=0.677**



| <b>Tabla 1. Tabla de contingencia</b> |          |          |
|---------------------------------------|----------|----------|
|                                       | IAM      | NO IAM   |
| INL Mayor a 9                         | 58 (VP)  | 29 (FP)  |
| INL Menor que 9                       | 162 (FN) | 274 (VN) |

| <b>Tabla 2. Valores obtenidos</b> |       |        |       |
|-----------------------------------|-------|--------|-------|
|                                   | Valor | IC 95% |       |
| Odds Ratio (OR)                   | 3.383 | 2.08   | 5.501 |
| Sensibilidad                      | 0.264 | 0.224  | 0.229 |
| Especificidad                     | 0.904 | 0.875  | 0.93  |
| VPP                               | 0.667 | 0.566  | 0.756 |
| VPN                               | 0.628 | 0.608  | 0.646 |

## **ANÁLISIS ESTADÍSTICO**

De acuerdo con los resultados obtenidos, podemos resaltar la prevalencia de esta enfermedad es de 23% de la población estudiada. El valor promedio de INL encontrado en los pacientes infartados, fue de 6.7, comparado con los no infartados, que tuvieron una media de 4.4. El valor de INL que más se repite para los pacientes infartados es de 4.0, similar a lo que comenta la literatura. Sin embargo, utilizando análisis de curva de ROC, el mejor valor obtenido con la mejor sensibilidad, especificidad y valores predictivos, en nuestra población, fue de 9.0, con un riesgo mayor a 3 veces de padecer la enfermedad, siendo este un valor independiente de cualquier otro factor.

Se considera que para el valor de INL 9.0, existe un VPP de 66%, y VPN de 62%, por lo que pudiéramos inferir que, aunque no es lo suficientemente alto por sí solo para

diagnóstico definitivo de la enfermedad, pudiera ser útil para considerar descartarla, cuando se obtenga un valor menor a este punto de corte.

La mayoría de la población estudiada fueron hombres, con un 59.4%. Del total de los pacientes ingresados por diagnóstico de síndrome coronario agudo, 57.9% no cumplieron con algún criterio para establecer el diagnóstico de IAM, por lo que se clasifican como angina.

De la población estudiada con infarto agudo al miocardio, 69% fueron personas  $\geq 55$  años.

Del total de la muestra, sólo el 24.8% tenía elevación del segmento ST, que corresponde al 57.2% de los pacientes con IAM (126 de 220).

La comorbilidad más frecuentemente asociada a todos los pacientes con síndrome coronario agudo, fue la hipertensión arterial sistémica, con 60% de prevalencia, siendo también la de mayor frecuencia en el análisis por grupos (IAM vs no IAM). Sorprendentemente sólo el 6.6% de los pacientes infartados, no contaba con ninguna de las comorbilidades estudiadas.

## DISCUSIÓN

Se observa una franca diferencia para el INL, en nuestro estudio, donde obtuvimos un punto de corte de 9.0, comparado con el valor de 4, propuesto en la literatura.<sup>7,8,21,22,23,24</sup> Sin embargo, cabe aclarar, que solamente Tahto E, et al,<sup>22</sup> y Mustafa U, et al,<sup>23</sup> fueron quienes estudiaron dicho índice como herramienta diagnóstica, comparándola contra CPK-MB y Troponina. El resto de los artículos y metaanálisis donde se menciona este índice, se estudió para predecir mortalidad, MACEs, extensión, o riesgo de reinfarto;<sup>7,8,21,24</sup> por lo que habría que hacer más estudios con finalidad diagnóstica, enfocada en población mexicana.

Otro detalle a recalcar, es que en este estudio sólo incluimos población enferma, sin tomar un grupo control con población sana, por lo que los valores calculados con respecto al índice, pudieran quedar sesgados.

Debido a que no fue la finalidad de nuestro estudio, no se descarta que, en nuestra población, este índice pudiera ser útil como predictor de mortalidad, como se propone en el metaanálisis de Chao-Hui Dong et al,<sup>24</sup> por lo que sería conveniente continuar analizándolo.

Una de las limitantes para nuestro estudio, es la captura errónea del diagnóstico de ingreso, en el sistema electrónico. Si bien, se buscaron variantes de CIE.10 que pudieran ser sugestivas para los pacientes a estudiar, es frecuente que por el volumen de población que se maneja en este hospital, no se completen de manera adecuada los expedientes electrónicos o físicos, siendo un impedimento para determinar la casuística.

## CONCLUSIONES

El índice neutrófilo linfocitario, pudiera ser útil como factor diagnóstico de infarto agudo al miocardio, tomando como corte un valor  $\geq 9.0$ . Se requieren estudios posteriores, donde se establezca si este valor en conjunto con otros índices ya establecidos, pudieran potenciar su utilidad en el diagnóstico; además de realizar comparación con grupo control.

En muchos de los hospitales de primer nivel de atención, es común la falta de insumos o equipos destinados a la medición de marcadores de daño miocárdico, mientras que, es más probable que se cuente con el recurso para la realización de una biometría hemática. En estos casos, el índice neutrófilo/linfocitario pudiera ser de utilidad, permitiendo una mejor sospecha diagnóstica, ayudando a una rápida toma de decisiones, que permita hacer una mejor referencia al hospital adecuado, donde se cuente con el equipo requerido para el tratamiento definitivo de este tipo de patología.

Valdría la pena proponer más adelante, otros estudios donde se realice un delta del INL (tal como se hace en la actualidad con la cinética de enzimas cardíacas), y valorar si esto pudiera tener significado clínico, con mayor relevancia que el índice documentado en sólo una fracción de tiempo; tal como corresponde fisiológicamente a la respuesta inflamatoria.

## BIBLIOGRAFÍA

1. Ibanez B, James S, Agewall S, Antunes MJ, Bucciarelli-Ducci C, Bueno H, et al. (2018). Guidelines for the management of acute myocardial infarction in patients presenting with ST-segment elevation: The Task Force for the management of acute myocardial infarction in patients presenting with ST-segment elevation of the European Society of Cardiology (ESC). *Eur Heart J.* 7; 39: 119-177.
2. Collet JP, Thiele H, Barbato E, Barthélémy O, Bauersachs J, Bhatt DL, et al. (2021). ESC Scientific Document Group. 2020 ESC Guidelines for the management of acute coronary syndromes in patients presenting without persistent ST-segment elevation. *Eur Heart J.* 7; 42: 1289-1367.
3. Levine GN, Bates ER, Blankenship JC, Bailey SR, Bittl JA, Cercek B, et al. (2016) 2015 ACC/AHA/SCAI Focused Update on Primary Percutaneous Coronary Intervention for Patients With ST-Elevation Myocardial Infarction: An Update of the 2011 ACCF/AHA/SCAI Guideline for Percutaneous Coronary Intervention and the 2013 ACCF/AHA Guideline for the Management of ST-Elevation Myocardial Infarction. *J Am Coll Cardiol.* 15; 67: 1235-1250.
4. Amsterdam EA, Wenger NK, Brindis RG, Casey Jr DE, Ganiats TG, Holmes Jr DR, et al. (2014) AHA/ACC Guideline for the Management of Patients with Non-ST-Elevation Acute Coronary Syndromes: a report of the American College of Cardiology/American Heart Association Task Force on Practice Guidelines. *J Am Coll Cardiol.* 23; 64: 139-228.
5. Tunstall-Pedoe H, Vanuzzo D, Hobbs M, Mahonen M, Cepaitis Z, Kuulasmaa K, et al. (2000). Estimation of contribution of changes in coronary care to improving survival, event rates, and coronary heart disease mortality across the WHO MINOCA Project populations. *Lancet* 2000. 355: 688-700.
6. Thygesen K, Alpert JS, Jaffe AS, Chaitman BR, Bax JJ, Morrow DA, et al (2018). Executive Group on behalf of the Joint European Society of Cardiology (ESC)/American College of Cardiology (ACC)/American Heart Association (AHA)/World Heart Federation (WHF) Task Force for the Universal Definition of Myocardial Infarction. Fourth Universal Definition of Myocardial Infarction (2018). *Circulation.* Nov 13; 138(20): 618-651.

7. Papa A., Emdin M, Passino C, Michelassi C, Battaglia D, Cocci F. (2008). Predictive value of elevated neutrophil–lymphocyte ratio on cardiac mortality in patients with stable coronary artery disease. *Clinica Chimica Acta* 395, 27–31.
8. Díaz-Chirón Sánchez L, Pascual Calleja I, Suárez Cuervo A, Almendarez Lacayo M, Gutiérrez de la Varga L, Martínez León A, et al. (2017). El índice neutrófilo/linfocito y el tamaño del infarto en pacientes con síndrome coronario agudo con elevación del ST tratados con angioplastia primaria exitosa. *Rev Esp Cardiol*;70 Supl 1:840.
9. Collinson P, et al. (2014). The role of cardiac biomarkers in cardiovascular disease risk assessment. *Current Opinion in Cardiology*; 29(4): 366-371.
10. Magnoni M, Gallone G, Ceriotti F. (2018). Prognostic implications of high-sensitivity cardiac troponin T assay in a real-world population with non-ST-elevation acute coronary syndrome. *IJC Heart & Vasculature*; 20:14-19.
11. Tilea I., Varga, A., & Serban, R. (2021). Past, Present, and Future of Blood Biomarkers for the Diagnosis of Acute Myocardial Infarction – Promises and Challenges. *Diagnostics*, 11(5), 881.
12. Madjid M, Awan I, Willerson JT, Casscells SW. (2004). Leukocyte count and coronary heart disease: implications for risk assessment. *J Am Coll Cardiol.* 16; 44: 1945-1956.
13. Núñez J, Fácila L, Llàcer A, Sanchís J, Bodí V, Bertomeu V. (2005). Valor pronóstico del recuento leucocitario en el infarto agudo de miocardio: mortalidad a largo plazo. *Rev Esp Cardiol*; 58: 631-639.
14. Madavi T, Bhole P, Holay MP. (2019). Mean platelet volume as a predictor of clinical outcomes in patients of acute myocardial infarction. *Int J Res Med Sci*;7(2):388.
15. Kaminska J, Koper OM, Siedlecka-Czykier E, Matowicka-Karna J, Bychowski J, Kemon H, et al. (2018). The utility of inflammation and platelet biomarkers in patients with acute coronary syndromes. *Saudi Journal of Biological Sciences*;25(7):1263-1271.
16. Latif RR, Kurniawan LB, Rauf D. (2018). Platelet distribution width value as a diagnostic and prognostic marker in acute coronary syndrome. *Indones J Clin Pathol Med Lac*;24(2):112

17. Alvitigala B, Azra M, Kottahachchi D, Jayasekera M, Wijesinghe R. (2018). A study of association between platelet volume indices and ST elevation myocardial infarction. *Int J Cardiol Heart Vasc*; 21:7 – 10
18. Mahran E, Hassan NE, Kamal El-Ddin T, Nagib Kafafy T. (2020). Platelet indices and blood cells ratios in acute coronary syndrome and their predictive values. *J Curr Med Res Pract*; 5(1):57.
19. Quiroga W, Conci E, Zelaya F, Isa M, Pacheco G, Sala J, et al. (2010). Estratificación del riesgo en el infarto agudo de miocardio según el índice leucoglucémico. “¿El Killip-Kimball de laboratorio?”. *Rev Fed Arg Cardiol*; 39(1): 29-34.
20. León-Aliz E, Moreno F, Pérez G, Vega L, Rabassa M. (2014). Índice leucoglucémico como marcador pronóstico de la evolución intrahospitalaria de pacientes con infarto agudo de miocardio con elevación del ST. *Clin Investig Arterioscler*. Jul-Aug; 26(4): 168-175.
21. Rodríguez-Blanco S, Leyva-Quert A, Aguilar-Medina J, Barcelay-Leyva F, Collazo F, Hernández-Valdés E. (2020). Neutrophil-lymphocyte index value in the diagnosis of type 4a Infarction in patients with acute coronary syndrome. *Rev Cuban Cardiol*. Volumen 26, No 3: 23-34.
22. Tahto E, Jadric R, Lamija-Pojkic, Kicic E. (2017). Neutrophil-to-lymphocyte ratio and its relation with markers of inflammation and myocardial necrosis in patients with acute coronary syndrome. *MED ARCH. OCT*; 71(5): 312-315.
23. Mustafa Uğur, Yeşim Pinar A, Zeynep Karakaya, Umut Payza, Esad Topal. (2018). Evaluation of white blood cell and neutrophil/lymphocyte ratio in acute coronary syndrome patients admitted to emergency department. *Biomedical Research*. Volume 29, Issue 10.
24. Chao-Hui Donga, Zhang-Min Wanga, Si-Yu Chen. (2018). Neutrophil to lymphocyte ratio predict mortality and major adverse cardiac events in acute coronary syndrome: A systematic review and meta-analysis. *Clinical Biochemistry* 52; 131–136.
25. Reyes-Gálvez JA, Gracida-Mancilla NI, Enríquez Santos D, Carrillo-Esper R. (2016). Índice neutrófilos linfocitos como predictor de gravedad y mortalidad en pacientes con sepsis abdominal. *Med Int Méx. Ene*;32(1):41-47.
26. Copca-Nieto DV, Álvarez-López JA, Santillán-Fragoso WJ, et al. (2017). Relación entre síndrome metabólico e índice neutrófilo/linfocito. *Med Int Mex*;33(2):195-203.

27. Che-Morales JL et al. (2018). Índice neutrófilo/linfocito y neumonía. Rev Med Inst Mex Seguro Soc; 56(6):537-43.
28. Álvarez Cisneros, M. (2019). "Utilidad del índice neutrófilo linfocitario como predictor de mortalidad en neonatos sometidos a cirugía cardíaca". (Trabajo de grado de especialización). Universidad Nacional Autónoma de México, Coordinación General de Estudios de Posgrado, UNAM. Recuperado de <https://repositorio.unam.mx/contenidos/3473740>.
29. Carpio-Orantes L, García-Méndez S, Hernández-Hernández S. (2020). Índices neutrófilo/linfocito, plaqueta/linfocito e inmunidad/inflamación sistémica en pacientes con neumonía por COVID-19. Gac. Méd. Méx, vol.156, n.6, pág. 537-541.
30. INEGI (2020). Características de las defunciones registradas en México durante enero a agosto de 2020. INEGI. Comunicado de prensa núm. 61/21 27 de enero de 2021, pág. 1-4. Obtenido de: [https://www.inegi.org.mx/contenidos/saladeprensa/boletines/2021/EstSociodemo/DefuncionesRegistradas2020\\_Pnles.pdf](https://www.inegi.org.mx/contenidos/saladeprensa/boletines/2021/EstSociodemo/DefuncionesRegistradas2020_Pnles.pdf)


## **ANEXOS**

**Anexo A.** Acta de aprobación del Comité de Ética en Investigación

**Anexo B.** Formato de la hoja de recolección de datos.

**Anexo C.** Tabla de análisis de ROC, con S y E para cada valor.

## Anexo A. Acta de aprobación del Comité de Ética en Investigación

|   |  |  |
|---|--|--|
|  | <b>Comité de Ética en Investigación<br/>del Hospital General de Mexicali</b> | HGMXL-CEI-2018-001   |
| <b>Unidad Administrativa:</b> Departamento de Enseñanza                           |  | <b>Área Responsable:</b> Comité de Enseñanza e Investigación |



Asunto: **DICTAMEN DE EVALUACIÓN DE PROTOCOLO**

Mexicali, B. C., a miércoles, 29 de septiembre de 2021

**DRA. MARINA MICHELLE RODRIGUEZ VERA**  
**Médico Residente de Urgencias Médicas**  
**Hospital General de Mexicali**  
PRESENTE

Por medio de la presente, nos complace informar que el protocolo **“UTILIDAD DEL INDICE NEUTRÓFILO-LINFOCITARIO COMO FACTOR DIAGNÓSTICO PARA INFARTO AGUDO AL MIOCARDIO EN EL SERVICIO DE URGENCIAS AULTOS DEL HOSPITAL GENERAL DE MEXICALI, EN EL PERIOO DE SEPTIEMBRE 2010 A MARZO 2020”**, presentado ante el Comité de Ética en Investigación del Hospital General de Mexicali con No. de Registro: **02-01-HGMXL/UR/ / 2021-09-29-293** ha sido:

**APROBADO**

  
  
**Dr. David Rafael Cañez Martínez**  
PRESIDENTE DEL COMITÉ DE ÉTICA EN INVESTIGACIÓN  
DEL HOSPITAL GENERAL DE MEXICALI

**Anexo B.** Formato de la hoja de recolección de datos

| 1  | GENERALIDADES |        |      |      | CLASIFICACION DEL SCA |       |       |            |        |     | LABORATORIOS |     |           |      |            |
|----|---------------|--------|------|------|-----------------------|-------|-------|------------|--------|-----|--------------|-----|-----------|------|------------|
| 2  | APELLIDO      | No Exp | SEXO | EDAD | SICACEST              | BRIHH | BRDHH | TROPONINAS | CPK-MB | IAM | Leucocitos   | Neu | I Leu/Neu | Linf | I Neu/Linf |
| 3  |               |        |      |      |                       |       |       |            |        |     |              |     |           |      |            |
| 4  |               |        |      |      |                       |       |       |            |        |     |              |     |           |      |            |
| 5  |               |        |      |      |                       |       |       |            |        |     |              |     |           |      |            |
| 6  |               |        |      |      |                       |       |       |            |        |     |              |     |           |      |            |
| 7  |               |        |      |      |                       |       |       |            |        |     |              |     |           |      |            |
| 8  |               |        |      |      |                       |       |       |            |        |     |              |     |           |      |            |
| 9  |               |        |      |      |                       |       |       |            |        |     |              |     |           |      |            |
| 10 |               |        |      |      |                       |       |       |            |        |     |              |     |           |      |            |
| 11 |               |        |      |      |                       |       |       |            |        |     |              |     |           |      |            |
| 12 |               |        |      |      |                       |       |       |            |        |     |              |     |           |      |            |
| 13 |               |        |      |      |                       |       |       |            |        |     |              |     |           |      |            |
| 14 |               |        |      |      |                       |       |       |            |        |     |              |     |           |      |            |
| 15 |               |        |      |      |                       |       |       |            |        |     |              |     |           |      |            |
| 16 |               |        |      |      |                       |       |       |            |        |     |              |     |           |      |            |
| 17 |               |        |      |      |                       |       |       |            |        |     |              |     |           |      |            |
| 18 |               |        |      |      |                       |       |       |            |        |     |              |     |           |      |            |
| 19 |               |        |      |      |                       |       |       |            |        |     |              |     |           |      |            |
| 20 |               |        |      |      |                       |       |       |            |        |     |              |     |           |      |            |
| 21 |               |        |      |      |                       |       |       |            |        |     |              |     |           |      |            |
| 22 |               |        |      |      |                       |       |       |            |        |     |              |     |           |      |            |
| 23 |               |        |      |      |                       |       |       |            |        |     |              |     |           |      |            |
| 24 |               |        |      |      |                       |       |       |            |        |     |              |     |           |      |            |
| 25 |               |        |      |      |                       |       |       |            |        |     |              |     |           |      |            |
| 26 |               |        |      |      |                       |       |       |            |        |     |              |     |           |      |            |
| 27 |               |        |      |      |                       |       |       |            |        |     |              |     |           |      |            |
| 28 |               |        |      |      |                       |       |       |            |        |     |              |     |           |      |            |
| 29 |               |        |      |      |                       |       |       |            |        |     |              |     |           |      |            |
| 30 |               |        |      |      |                       |       |       |            |        |     |              |     |           |      |            |
| 31 |               |        |      |      |                       |       |       |            |        |     |              |     |           |      |            |

### Anexo C. Análisis de ROC, con S y E para cada valor.

| 9.015625 | S     | Lim inferior (95%) | Lim superior (95%) | E     | Lim inferior (95%) | Lim superior (95%) | VPP   | VPN   | LR+   | LR-   | VP  | VN | FP  | FN | S+E   | Precisión |
|----------|-------|--------------------|--------------------|-------|--------------------|--------------------|-------|-------|-------|-------|-----|----|-----|----|-------|-----------|
| 0.390    | 1.000 | 0.979              | 1.000              | 0.003 | 0.000              | 0.021              | 0.422 | 1.000 | 1.003 | 0.000 | 220 | 1  | 301 | 0  | 1.003 | 0.423     |
| 0.809    | 1.000 | 0.979              | 1.000              | 0.007 | 0.000              | 0.026              | 0.423 | 1.000 | 1.007 | 0.000 | 220 | 2  | 300 | 0  | 1.007 | 0.425     |
| 0.958    | 0.995 | 0.972              | 1.000              | 0.007 | 0.000              | 0.026              | 0.422 | 0.667 | 1.002 | 0.686 | 219 | 2  | 300 | 1  | 1.002 | 0.423     |
| 0.967    | 0.995 | 0.972              | 1.000              | 0.010 | 0.002              | 0.031              | 0.423 | 0.750 | 1.005 | 0.458 | 219 | 3  | 299 | 1  | 1.005 | 0.425     |
| 1.044    | 0.995 | 0.972              | 1.000              | 0.013 | 0.004              | 0.035              | 0.424 | 0.800 | 1.009 | 0.343 | 219 | 4  | 298 | 1  | 1.009 | 0.427     |
| 1.045    | 0.991 | 0.965              | 0.999              | 0.013 | 0.004              | 0.035              | 0.422 | 0.667 | 1.004 | 0.686 | 218 | 4  | 298 | 2  | 1.004 | 0.425     |
| 1.148    | 0.991 | 0.965              | 0.999              | 0.017 | 0.006              | 0.040              | 0.423 | 0.714 | 1.008 | 0.549 | 218 | 5  | 297 | 2  | 1.007 | 0.427     |
| 1.148    | 0.991 | 0.965              | 0.999              | 0.020 | 0.008              | 0.044              | 0.424 | 0.750 | 1.011 | 0.458 | 218 | 6  | 296 | 2  | 1.011 | 0.429     |
| 1.150    | 0.991 | 0.965              | 0.999              | 0.023 | 0.010              | 0.048              | 0.425 | 0.778 | 1.014 | 0.392 | 218 | 7  | 295 | 2  | 1.014 | 0.431     |
| 1.200    | 0.991 | 0.965              | 0.999              | 0.030 | 0.015              | 0.057              | 0.427 | 0.818 | 1.021 | 0.305 | 218 | 9  | 293 | 2  | 1.021 | 0.435     |
| 1.222    | 0.991 | 0.965              | 0.999              | 0.033 | 0.017              | 0.061              | 0.427 | 0.833 | 1.025 | 0.275 | 218 | 10 | 292 | 2  | 1.024 | 0.437     |
| 1.226    | 0.991 | 0.965              | 0.999              | 0.036 | 0.020              | 0.065              | 0.428 | 0.846 | 1.028 | 0.250 | 218 | 11 | 291 | 2  | 1.027 | 0.439     |
| 1.242    | 0.986 | 0.958              | 0.997              | 0.036 | 0.020              | 0.065              | 0.427 | 0.786 | 1.024 | 0.374 | 217 | 11 | 291 | 3  | 1.023 | 0.437     |
| 1.259    | 0.986 | 0.958              | 0.997              | 0.040 | 0.022              | 0.069              | 0.428 | 0.800 | 1.027 | 0.343 | 217 | 12 | 290 | 3  | 1.026 | 0.439     |
| 1.285    | 0.986 | 0.958              | 0.997              | 0.043 | 0.025              | 0.073              | 0.429 | 0.813 | 1.031 | 0.317 | 217 | 13 | 289 | 3  | 1.029 | 0.441     |
| 1.286    | 0.982 | 0.952              | 0.994              | 0.043 | 0.025              | 0.073              | 0.428 | 0.765 | 1.026 | 0.422 | 216 | 13 | 289 | 4  | 1.025 | 0.439     |
| 1.336    | 0.982 | 0.952              | 0.994              | 0.046 | 0.027              | 0.077              | 0.429 | 0.778 | 1.030 | 0.392 | 216 | 14 | 288 | 4  | 1.028 | 0.441     |
| 1.382    | 0.982 | 0.952              | 0.994              | 0.050 | 0.030              | 0.081              | 0.429 | 0.789 | 1.033 | 0.366 | 216 | 15 | 287 | 4  | 1.031 | 0.443     |
| 1.385    | 0.982 | 0.952              | 0.994              | 0.053 | 0.032              | 0.085              | 0.430 | 0.800 | 1.037 | 0.343 | 216 | 16 | 286 | 4  | 1.035 | 0.444     |
| 1.415    | 0.982 | 0.952              | 0.994              | 0.056 | 0.035              | 0.089              | 0.431 | 0.810 | 1.040 | 0.323 | 216 | 17 | 285 | 4  | 1.038 | 0.446     |
| 1.416    | 0.982 | 0.952              | 0.994              | 0.060 | 0.038              | 0.093              | 0.432 | 0.818 | 1.044 | 0.305 | 216 | 18 | 284 | 4  | 1.041 | 0.448     |
| 1.419    | 0.977 | 0.946              | 0.992              | 0.060 | 0.038              | 0.093              | 0.431 | 0.783 | 1.039 | 0.381 | 215 | 18 | 284 | 5  | 1.037 | 0.446     |
| 1.421    | 0.977 | 0.946              | 0.992              | 0.063 | 0.040              | 0.097              | 0.432 | 0.792 | 1.043 | 0.361 | 215 | 19 | 283 | 5  | 1.040 | 0.448     |
| 1.425    | 0.973 | 0.940              | 0.989              | 0.063 | 0.040              | 0.097              | 0.431 | 0.760 | 1.038 | 0.433 | 214 | 19 | 283 | 6  | 1.036 | 0.446     |
| 1.427    | 0.973 | 0.940              | 0.989              | 0.066 | 0.043              | 0.101              | 0.431 | 0.769 | 1.042 | 0.412 | 214 | 20 | 282 | 6  | 1.039 | 0.448     |
| 1.461    | 0.968 | 0.934              | 0.986              | 0.066 | 0.043              | 0.101              | 0.430 | 0.741 | 1.037 | 0.480 | 213 | 20 | 282 | 7  | 1.034 | 0.446     |
| 1.487    | 0.964 | 0.928              | 0.982              | 0.066 | 0.043              | 0.101              | 0.429 | 0.714 | 1.032 | 0.549 | 212 | 20 | 282 | 8  | 1.030 | 0.444     |
| 1.494    | 0.964 | 0.928              | 0.982              | 0.070 | 0.046              | 0.105              | 0.430 | 0.724 | 1.036 | 0.523 | 212 | 21 | 281 | 8  | 1.033 | 0.446     |
| 1.500    | 0.964 | 0.928              | 0.982              | 0.073 | 0.048              | 0.109              | 0.431 | 0.733 | 1.039 | 0.499 | 212 | 22 | 280 | 8  | 1.036 | 0.448     |
| 1.510    | 0.959 | 0.923              | 0.979              | 0.073 | 0.048              | 0.109              | 0.430 | 0.710 | 1.034 | 0.562 | 211 | 22 | 280 | 9  | 1.032 | 0.446     |
| 1.511    | 0.959 | 0.923              | 0.979              | 0.076 | 0.051              | 0.112              | 0.431 | 0.719 | 1.038 | 0.537 | 211 | 23 | 279 | 9  | 1.035 | 0.448     |
| 1.513    | 0.959 | 0.923              | 0.979              | 0.079 | 0.054              | 0.116              | 0.431 | 0.727 | 1.042 | 0.515 | 211 | 24 | 278 | 9  | 1.039 | 0.450     |
| 1.533    | 0.959 | 0.923              | 0.979              | 0.083 | 0.056              | 0.120              | 0.432 | 0.735 | 1.046 | 0.494 | 211 | 25 | 277 | 9  | 1.042 | 0.452     |
| 1.538    | 0.959 | 0.923              | 0.979              | 0.089 | 0.062              | 0.128              | 0.434 | 0.750 | 1.053 | 0.458 | 211 | 27 | 275 | 9  | 1.048 | 0.456     |
| 1.553    | 0.959 | 0.923              | 0.979              | 0.093 | 0.065              | 0.131              | 0.435 | 0.757 | 1.057 | 0.441 | 211 | 28 | 274 | 9  | 1.052 | 0.458     |
| 1.560    | 0.955 | 0.917              | 0.976              | 0.093 | 0.065              | 0.131              | 0.434 | 0.737 | 1.052 | 0.490 | 210 | 28 | 274 | 10 | 1.047 | 0.456     |
| 1.564    | 0.955 | 0.917              | 0.976              | 0.096 | 0.067              | 0.135              | 0.435 | 0.744 | 1.056 | 0.473 | 210 | 29 | 273 | 10 | 1.051 | 0.458     |
| 1.569    | 0.950 | 0.911              | 0.973              | 0.096 | 0.067              | 0.135              | 0.434 | 0.725 | 1.051 | 0.521 | 209 | 29 | 273 | 11 | 1.046 | 0.456     |
| 1.571    | 0.950 | 0.911              | 0.973              | 0.099 | 0.070              | 0.139              | 0.435 | 0.732 | 1.055 | 0.503 | 209 | 30 | 272 | 11 | 1.049 | 0.458     |
| 1.576    | 0.950 | 0.911              | 0.973              | 0.103 | 0.073              | 0.143              | 0.435 | 0.738 | 1.059 | 0.487 | 209 | 31 | 271 | 11 | 1.053 | 0.460     |
| 1.578    | 0.950 | 0.911              | 0.973              | 0.106 | 0.076              | 0.146              | 0.436 | 0.744 | 1.063 | 0.472 | 209 | 32 | 270 | 11 | 1.056 | 0.462     |
| 1.581    | 0.950 | 0.911              | 0.973              | 0.109 | 0.079              | 0.150              | 0.437 | 0.750 | 1.067 | 0.458 | 209 | 33 | 269 | 11 | 1.059 | 0.464     |
| 1.594    | 0.950 | 0.911              | 0.973              | 0.113 | 0.082              | 0.154              | 0.438 | 0.756 | 1.071 | 0.444 | 209 | 34 | 268 | 11 | 1.063 | 0.466     |
| 1.599    | 0.945 | 0.906              | 0.969              | 0.113 | 0.082              | 0.154              | 0.437 | 0.739 | 1.065 | 0.484 | 208 | 34 | 268 | 12 | 1.058 | 0.464     |
| 1.622    | 0.941 | 0.900              | 0.966              | 0.113 | 0.082              | 0.154              | 0.436 | 0.723 | 1.060 | 0.525 | 207 | 34 | 268 | 13 | 1.053 | 0.462     |
| 1.631    | 0.941 | 0.900              | 0.966              | 0.116 | 0.084              | 0.157              | 0.437 | 0.729 | 1.064 | 0.510 | 207 | 35 | 267 | 13 | 1.057 | 0.464     |
| 1.657    | 0.936 | 0.895              | 0.962              | 0.116 | 0.084              | 0.157              | 0.436 | 0.714 | 1.059 | 0.549 | 206 | 35 | 267 | 14 | 1.052 | 0.462     |
| 1.667    | 0.936 | 0.895              | 0.962              | 0.119 | 0.087              | 0.161              | 0.436 | 0.720 | 1.063 | 0.534 | 206 | 36 | 266 | 14 | 1.056 | 0.464     |
| 1.684    | 0.936 | 0.895              | 0.962              | 0.123 | 0.090              | 0.165              | 0.437 | 0.725 | 1.067 | 0.519 | 206 | 37 | 265 | 14 | 1.059 | 0.466     |

| 9.015625 | s     | Lim inferior (95%) | Lim superior (95%) | E     | Lim inferior (95%) | Lim superior (95%) | VPP   | VPN   | LR+   | LR-   | VP  | VN | FP  | FN | S+E   | Precisión |
|----------|-------|--------------------|--------------------|-------|--------------------|--------------------|-------|-------|-------|-------|-----|----|-----|----|-------|-----------|
| 1.696    | 0.936 | 0.895              | 0.962              | 0.126 | 0.093              | 0.168              | 0.438 | 0.731 | 1.071 | 0.506 | 206 | 38 | 264 | 14 | 1.062 | 0.467     |
| 1.710    | 0.936 | 0.895              | 0.962              | 0.129 | 0.096              | 0.172              | 0.439 | 0.736 | 1.075 | 0.493 | 206 | 39 | 263 | 14 | 1.066 | 0.469     |
| 1.710    | 0.932 | 0.889              | 0.959              | 0.129 | 0.096              | 0.172              | 0.438 | 0.722 | 1.070 | 0.528 | 205 | 39 | 263 | 15 | 1.061 | 0.467     |
| 1.714    | 0.932 | 0.889              | 0.959              | 0.132 | 0.099              | 0.176              | 0.439 | 0.727 | 1.074 | 0.515 | 205 | 40 | 262 | 15 | 1.064 | 0.469     |
| 1.724    | 0.932 | 0.889              | 0.959              | 0.136 | 0.102              | 0.179              | 0.440 | 0.732 | 1.078 | 0.502 | 205 | 41 | 261 | 15 | 1.068 | 0.471     |
| 1.730    | 0.932 | 0.889              | 0.959              | 0.139 | 0.104              | 0.183              | 0.441 | 0.737 | 1.082 | 0.490 | 205 | 42 | 260 | 15 | 1.071 | 0.473     |
| 1.738    | 0.932 | 0.889              | 0.959              | 0.142 | 0.107              | 0.187              | 0.442 | 0.741 | 1.087 | 0.479 | 205 | 43 | 259 | 15 | 1.074 | 0.475     |
| 1.742    | 0.927 | 0.884              | 0.955              | 0.142 | 0.107              | 0.187              | 0.441 | 0.729 | 1.081 | 0.511 | 204 | 43 | 259 | 16 | 1.070 | 0.473     |
| 1.751    | 0.923 | 0.879              | 0.952              | 0.142 | 0.107              | 0.187              | 0.439 | 0.717 | 1.076 | 0.543 | 203 | 43 | 259 | 17 | 1.065 | 0.471     |
| 1.756    | 0.923 | 0.879              | 0.952              | 0.146 | 0.110              | 0.190              | 0.440 | 0.721 | 1.080 | 0.530 | 203 | 44 | 258 | 17 | 1.068 | 0.473     |
| 1.758    | 0.923 | 0.879              | 0.952              | 0.149 | 0.113              | 0.194              | 0.441 | 0.726 | 1.084 | 0.519 | 203 | 45 | 257 | 17 | 1.072 | 0.475     |
| 1.761    | 0.923 | 0.879              | 0.952              | 0.152 | 0.116              | 0.198              | 0.442 | 0.730 | 1.089 | 0.507 | 203 | 46 | 256 | 17 | 1.075 | 0.477     |
| 1.765    | 0.923 | 0.879              | 0.952              | 0.156 | 0.119              | 0.201              | 0.443 | 0.734 | 1.093 | 0.497 | 203 | 47 | 255 | 17 | 1.078 | 0.479     |
| 1.773    | 0.923 | 0.879              | 0.952              | 0.159 | 0.122              | 0.205              | 0.444 | 0.738 | 1.097 | 0.486 | 203 | 48 | 254 | 17 | 1.082 | 0.481     |
| 1.774    | 0.923 | 0.879              | 0.952              | 0.162 | 0.125              | 0.208              | 0.445 | 0.742 | 1.101 | 0.476 | 203 | 49 | 253 | 17 | 1.085 | 0.483     |
| 1.776    | 0.923 | 0.879              | 0.952              | 0.166 | 0.128              | 0.212              | 0.446 | 0.746 | 1.106 | 0.467 | 203 | 50 | 252 | 17 | 1.088 | 0.485     |
| 1.778    | 0.918 | 0.873              | 0.948              | 0.166 | 0.128              | 0.212              | 0.445 | 0.735 | 1.100 | 0.494 | 202 | 50 | 252 | 18 | 1.084 | 0.483     |
| 1.779    | 0.918 | 0.873              | 0.948              | 0.169 | 0.131              | 0.216              | 0.446 | 0.739 | 1.105 | 0.484 | 202 | 51 | 251 | 18 | 1.087 | 0.485     |
| 1.785    | 0.918 | 0.873              | 0.948              | 0.172 | 0.134              | 0.219              | 0.447 | 0.743 | 1.109 | 0.475 | 202 | 52 | 250 | 18 | 1.090 | 0.487     |
| 1.793    | 0.914 | 0.868              | 0.944              | 0.172 | 0.134              | 0.219              | 0.446 | 0.732 | 1.104 | 0.502 | 201 | 52 | 250 | 19 | 1.086 | 0.485     |
| 1.803    | 0.914 | 0.868              | 0.944              | 0.175 | 0.137              | 0.223              | 0.447 | 0.736 | 1.108 | 0.492 | 201 | 53 | 249 | 19 | 1.089 | 0.487     |
| 1.842    | 0.914 | 0.868              | 0.944              | 0.179 | 0.140              | 0.226              | 0.448 | 0.740 | 1.113 | 0.483 | 201 | 54 | 248 | 19 | 1.092 | 0.489     |
| 1.862    | 0.914 | 0.868              | 0.944              | 0.182 | 0.143              | 0.230              | 0.449 | 0.743 | 1.117 | 0.474 | 201 | 55 | 247 | 19 | 1.096 | 0.490     |
| 1.885    | 0.909 | 0.863              | 0.941              | 0.182 | 0.143              | 0.230              | 0.447 | 0.733 | 1.112 | 0.499 | 200 | 55 | 247 | 20 | 1.091 | 0.489     |
| 1.889    | 0.905 | 0.858              | 0.937              | 0.182 | 0.143              | 0.230              | 0.446 | 0.724 | 1.106 | 0.524 | 199 | 55 | 247 | 21 | 1.087 | 0.487     |
| 1.891    | 0.905 | 0.858              | 0.937              | 0.185 | 0.146              | 0.233              | 0.447 | 0.727 | 1.110 | 0.515 | 199 | 56 | 246 | 21 | 1.090 | 0.489     |
| 1.897    | 0.905 | 0.858              | 0.937              | 0.189 | 0.149              | 0.237              | 0.448 | 0.731 | 1.115 | 0.506 | 199 | 57 | 245 | 21 | 1.093 | 0.490     |
| 1.899    | 0.905 | 0.858              | 0.937              | 0.192 | 0.152              | 0.241              | 0.449 | 0.734 | 1.120 | 0.497 | 199 | 58 | 244 | 21 | 1.097 | 0.492     |
| 1.906    | 0.905 | 0.858              | 0.937              | 0.195 | 0.155              | 0.244              | 0.450 | 0.738 | 1.124 | 0.489 | 199 | 59 | 243 | 21 | 1.100 | 0.494     |
| 1.923    | 0.905 | 0.858              | 0.937              | 0.199 | 0.158              | 0.248              | 0.451 | 0.741 | 1.129 | 0.480 | 199 | 60 | 242 | 21 | 1.103 | 0.496     |
| 1.958    | 0.905 | 0.858              | 0.937              | 0.202 | 0.161              | 0.251              | 0.452 | 0.744 | 1.133 | 0.473 | 199 | 61 | 241 | 21 | 1.107 | 0.498     |
| 1.959    | 0.905 | 0.858              | 0.937              | 0.205 | 0.164              | 0.255              | 0.453 | 0.747 | 1.138 | 0.465 | 199 | 62 | 240 | 21 | 1.110 | 0.500     |
| 1.966    | 0.905 | 0.858              | 0.937              | 0.209 | 0.167              | 0.258              | 0.454 | 0.750 | 1.143 | 0.458 | 199 | 63 | 239 | 21 | 1.113 | 0.502     |
| 1.982    | 0.905 | 0.858              | 0.937              | 0.212 | 0.170              | 0.262              | 0.455 | 0.753 | 1.148 | 0.450 | 199 | 64 | 238 | 21 | 1.116 | 0.504     |
| 1.997    | 0.905 | 0.858              | 0.937              | 0.215 | 0.173              | 0.265              | 0.456 | 0.756 | 1.153 | 0.443 | 199 | 65 | 237 | 21 | 1.120 | 0.506     |
| 2.004    | 0.900 | 0.852              | 0.933              | 0.215 | 0.173              | 0.265              | 0.455 | 0.747 | 1.147 | 0.465 | 198 | 65 | 237 | 22 | 1.115 | 0.504     |
| 2.008    | 0.900 | 0.852              | 0.933              | 0.219 | 0.176              | 0.269              | 0.456 | 0.750 | 1.152 | 0.458 | 198 | 66 | 236 | 22 | 1.119 | 0.506     |
| 2.018    | 0.900 | 0.852              | 0.933              | 0.222 | 0.179              | 0.272              | 0.457 | 0.753 | 1.157 | 0.451 | 198 | 67 | 235 | 22 | 1.122 | 0.508     |
| 2.043    | 0.900 | 0.852              | 0.933              | 0.225 | 0.182              | 0.276              | 0.458 | 0.756 | 1.162 | 0.444 | 198 | 68 | 234 | 22 | 1.125 | 0.510     |
| 2.053    | 0.900 | 0.852              | 0.933              | 0.228 | 0.185              | 0.279              | 0.459 | 0.758 | 1.167 | 0.438 | 198 | 69 | 233 | 22 | 1.128 | 0.511     |
| 2.078    | 0.900 | 0.852              | 0.933              | 0.232 | 0.188              | 0.283              | 0.460 | 0.761 | 1.172 | 0.431 | 198 | 70 | 232 | 22 | 1.132 | 0.513     |
| 2.081    | 0.900 | 0.852              | 0.933              | 0.235 | 0.191              | 0.286              | 0.462 | 0.763 | 1.177 | 0.425 | 198 | 71 | 231 | 22 | 1.135 | 0.515     |
| 2.084    | 0.895 | 0.847              | 0.930              | 0.235 | 0.191              | 0.286              | 0.460 | 0.755 | 1.171 | 0.445 | 197 | 71 | 231 | 23 | 1.131 | 0.513     |
| 2.088    | 0.895 | 0.847              | 0.930              | 0.238 | 0.194              | 0.290              | 0.461 | 0.758 | 1.176 | 0.439 | 197 | 72 | 230 | 23 | 1.134 | 0.515     |
| 2.107    | 0.891 | 0.842              | 0.926              | 0.238 | 0.194              | 0.290              | 0.460 | 0.750 | 1.170 | 0.458 | 196 | 72 | 230 | 24 | 1.129 | 0.513     |
| 2.108    | 0.891 | 0.842              | 0.926              | 0.242 | 0.197              | 0.293              | 0.461 | 0.753 | 1.175 | 0.451 | 196 | 73 | 229 | 24 | 1.133 | 0.515     |
| 2.123    | 0.891 | 0.842              | 0.926              | 0.245 | 0.200              | 0.297              | 0.462 | 0.755 | 1.180 | 0.445 | 196 | 74 | 228 | 24 | 1.136 | 0.517     |
| 2.138    | 0.891 | 0.842              | 0.926              | 0.248 | 0.203              | 0.300              | 0.463 | 0.758 | 1.185 | 0.439 | 196 | 75 | 227 | 24 | 1.139 | 0.519     |
| 2.160    | 0.891 | 0.842              | 0.926              | 0.252 | 0.206              | 0.304              | 0.464 | 0.760 | 1.191 | 0.433 | 196 | 76 | 226 | 24 | 1.143 | 0.521     |
| 2.172    | 0.891 | 0.842              | 0.926              | 0.255 | 0.209              | 0.307              | 0.466 | 0.762 | 1.196 | 0.428 | 196 | 77 | 225 | 24 | 1.146 | 0.523     |

| 9.015625 | S     | Lim inferior (95%) | Lim superior (95%) | E     | Lim inferior (95%) | Lim superior (95%) | VPP   | VPN   | LR+   | LR-   | VP  | VN  | FP  | FN | S+E   | Precisión |
|----------|-------|--------------------|--------------------|-------|--------------------|--------------------|-------|-------|-------|-------|-----|-----|-----|----|-------|-----------|
| 2.172    | 0.891 | 0.842              | 0.926              | 0.255 | 0.209              | 0.307              | 0.466 | 0.762 | 1.196 | 0.428 | 196 | 77  | 225 | 24 | 1.146 | 0.523     |
| 2.185    | 0.891 | 0.842              | 0.926              | 0.258 | 0.212              | 0.311              | 0.467 | 0.765 | 1.201 | 0.422 | 196 | 78  | 224 | 24 | 1.149 | 0.525     |
| 2.205    | 0.886 | 0.837              | 0.922              | 0.258 | 0.212              | 0.311              | 0.465 | 0.757 | 1.195 | 0.440 | 195 | 78  | 224 | 25 | 1.145 | 0.523     |
| 2.214    | 0.886 | 0.837              | 0.922              | 0.262 | 0.215              | 0.314              | 0.467 | 0.760 | 1.200 | 0.434 | 195 | 79  | 223 | 25 | 1.148 | 0.525     |
| 2.238    | 0.886 | 0.837              | 0.922              | 0.265 | 0.218              | 0.318              | 0.468 | 0.762 | 1.206 | 0.429 | 195 | 80  | 222 | 25 | 1.151 | 0.527     |
| 2.240    | 0.882 | 0.832              | 0.918              | 0.265 | 0.218              | 0.318              | 0.466 | 0.755 | 1.200 | 0.446 | 194 | 80  | 222 | 26 | 1.147 | 0.525     |
| 2.240    | 0.882 | 0.832              | 0.918              | 0.268 | 0.221              | 0.321              | 0.467 | 0.757 | 1.205 | 0.441 | 194 | 81  | 221 | 26 | 1.150 | 0.527     |
| 2.246    | 0.877 | 0.827              | 0.914              | 0.268 | 0.221              | 0.321              | 0.466 | 0.750 | 1.199 | 0.458 | 193 | 81  | 221 | 27 | 1.145 | 0.525     |
| 2.273    | 0.877 | 0.827              | 0.914              | 0.272 | 0.225              | 0.325              | 0.467 | 0.752 | 1.204 | 0.452 | 193 | 82  | 220 | 27 | 1.149 | 0.527     |
| 2.282    | 0.873 | 0.821              | 0.911              | 0.272 | 0.225              | 0.325              | 0.466 | 0.745 | 1.198 | 0.469 | 192 | 82  | 220 | 28 | 1.144 | 0.525     |
| 2.300    | 0.873 | 0.821              | 0.911              | 0.275 | 0.228              | 0.328              | 0.467 | 0.748 | 1.203 | 0.463 | 192 | 83  | 219 | 28 | 1.148 | 0.527     |
| 2.309    | 0.873 | 0.821              | 0.911              | 0.278 | 0.231              | 0.331              | 0.468 | 0.750 | 1.209 | 0.458 | 192 | 84  | 218 | 28 | 1.151 | 0.529     |
| 2.312    | 0.868 | 0.816              | 0.907              | 0.278 | 0.231              | 0.331              | 0.467 | 0.743 | 1.203 | 0.474 | 191 | 84  | 218 | 29 | 1.146 | 0.527     |
| 2.333    | 0.868 | 0.816              | 0.907              | 0.281 | 0.234              | 0.335              | 0.468 | 0.746 | 1.208 | 0.468 | 191 | 85  | 217 | 29 | 1.150 | 0.529     |
| 2.350    | 0.864 | 0.811              | 0.903              | 0.281 | 0.234              | 0.335              | 0.467 | 0.739 | 1.202 | 0.484 | 190 | 85  | 217 | 30 | 1.145 | 0.527     |
| 2.360    | 0.859 | 0.806              | 0.899              | 0.281 | 0.234              | 0.335              | 0.466 | 0.733 | 1.196 | 0.501 | 189 | 85  | 217 | 31 | 1.141 | 0.525     |
| 2.368    | 0.855 | 0.801              | 0.895              | 0.285 | 0.237              | 0.338              | 0.465 | 0.729 | 1.195 | 0.511 | 188 | 86  | 216 | 32 | 1.139 | 0.525     |
| 2.406    | 0.855 | 0.801              | 0.895              | 0.288 | 0.240              | 0.342              | 0.467 | 0.731 | 1.200 | 0.505 | 188 | 87  | 215 | 32 | 1.143 | 0.527     |
| 2.424    | 0.855 | 0.801              | 0.895              | 0.291 | 0.243              | 0.345              | 0.468 | 0.733 | 1.206 | 0.499 | 188 | 88  | 214 | 32 | 1.146 | 0.529     |
| 2.426    | 0.855 | 0.801              | 0.895              | 0.295 | 0.246              | 0.349              | 0.469 | 0.736 | 1.212 | 0.494 | 188 | 89  | 213 | 32 | 1.149 | 0.531     |
| 2.426    | 0.855 | 0.801              | 0.895              | 0.298 | 0.249              | 0.352              | 0.470 | 0.738 | 1.217 | 0.488 | 188 | 90  | 212 | 32 | 1.153 | 0.533     |
| 2.480    | 0.850 | 0.796              | 0.891              | 0.298 | 0.249              | 0.352              | 0.469 | 0.732 | 1.211 | 0.503 | 187 | 90  | 212 | 33 | 1.148 | 0.531     |
| 2.481    | 0.850 | 0.796              | 0.891              | 0.301 | 0.252              | 0.355              | 0.470 | 0.734 | 1.217 | 0.498 | 187 | 91  | 211 | 33 | 1.151 | 0.533     |
| 2.488    | 0.850 | 0.796              | 0.891              | 0.305 | 0.256              | 0.359              | 0.471 | 0.736 | 1.222 | 0.492 | 187 | 92  | 210 | 33 | 1.155 | 0.534     |
| 2.496    | 0.850 | 0.796              | 0.891              | 0.308 | 0.259              | 0.362              | 0.472 | 0.738 | 1.228 | 0.487 | 187 | 93  | 209 | 33 | 1.158 | 0.536     |
| 2.512    | 0.845 | 0.791              | 0.887              | 0.308 | 0.259              | 0.362              | 0.471 | 0.732 | 1.222 | 0.502 | 186 | 93  | 209 | 34 | 1.153 | 0.534     |
| 2.516    | 0.845 | 0.791              | 0.887              | 0.311 | 0.262              | 0.366              | 0.472 | 0.734 | 1.228 | 0.497 | 186 | 94  | 208 | 34 | 1.157 | 0.536     |
| 2.516    | 0.845 | 0.791              | 0.887              | 0.315 | 0.265              | 0.369              | 0.473 | 0.736 | 1.233 | 0.491 | 186 | 95  | 207 | 34 | 1.160 | 0.538     |
| 2.516    | 0.841 | 0.786              | 0.883              | 0.315 | 0.265              | 0.369              | 0.472 | 0.731 | 1.227 | 0.506 | 185 | 95  | 207 | 35 | 1.155 | 0.536     |
| 2.518    | 0.841 | 0.786              | 0.883              | 0.318 | 0.268              | 0.373              | 0.473 | 0.733 | 1.233 | 0.500 | 185 | 96  | 206 | 35 | 1.159 | 0.538     |
| 2.523    | 0.841 | 0.786              | 0.883              | 0.321 | 0.271              | 0.376              | 0.474 | 0.735 | 1.239 | 0.495 | 185 | 97  | 205 | 35 | 1.162 | 0.540     |
| 2.542    | 0.841 | 0.786              | 0.883              | 0.325 | 0.274              | 0.379              | 0.476 | 0.737 | 1.245 | 0.490 | 185 | 98  | 204 | 35 | 1.165 | 0.542     |
| 2.550    | 0.841 | 0.786              | 0.883              | 0.328 | 0.277              | 0.383              | 0.477 | 0.739 | 1.251 | 0.485 | 185 | 99  | 203 | 35 | 1.169 | 0.544     |
| 2.550    | 0.841 | 0.786              | 0.883              | 0.331 | 0.281              | 0.386              | 0.478 | 0.741 | 1.257 | 0.480 | 185 | 100 | 202 | 35 | 1.172 | 0.546     |
| 2.563    | 0.836 | 0.781              | 0.880              | 0.331 | 0.281              | 0.386              | 0.477 | 0.735 | 1.250 | 0.494 | 184 | 100 | 202 | 36 | 1.167 | 0.544     |
| 2.567    | 0.836 | 0.781              | 0.880              | 0.334 | 0.284              | 0.390              | 0.478 | 0.737 | 1.257 | 0.489 | 184 | 101 | 201 | 36 | 1.171 | 0.546     |
| 2.600    | 0.832 | 0.776              | 0.876              | 0.334 | 0.284              | 0.390              | 0.477 | 0.732 | 1.250 | 0.503 | 183 | 101 | 201 | 37 | 1.166 | 0.544     |
| 2.608    | 0.832 | 0.776              | 0.876              | 0.338 | 0.287              | 0.393              | 0.478 | 0.734 | 1.256 | 0.498 | 183 | 102 | 200 | 37 | 1.170 | 0.546     |
| 2.611    | 0.832 | 0.776              | 0.876              | 0.341 | 0.290              | 0.396              | 0.479 | 0.736 | 1.262 | 0.493 | 183 | 103 | 199 | 37 | 1.173 | 0.548     |
| 2.615    | 0.832 | 0.776              | 0.876              | 0.344 | 0.293              | 0.400              | 0.480 | 0.738 | 1.269 | 0.488 | 183 | 104 | 198 | 37 | 1.176 | 0.550     |
| 2.655    | 0.827 | 0.771              | 0.872              | 0.344 | 0.293              | 0.400              | 0.479 | 0.732 | 1.262 | 0.502 | 182 | 104 | 198 | 38 | 1.172 | 0.548     |
| 2.668    | 0.827 | 0.771              | 0.872              | 0.348 | 0.296              | 0.403              | 0.480 | 0.734 | 1.268 | 0.497 | 182 | 105 | 197 | 38 | 1.175 | 0.550     |
| 2.693    | 0.827 | 0.771              | 0.872              | 0.351 | 0.299              | 0.406              | 0.481 | 0.736 | 1.275 | 0.492 | 182 | 106 | 196 | 38 | 1.178 | 0.552     |
| 2.700    | 0.827 | 0.771              | 0.872              | 0.354 | 0.303              | 0.410              | 0.483 | 0.738 | 1.281 | 0.488 | 182 | 107 | 195 | 38 | 1.182 | 0.554     |
| 2.727    | 0.827 | 0.771              | 0.872              | 0.358 | 0.306              | 0.413              | 0.484 | 0.740 | 1.288 | 0.483 | 182 | 108 | 194 | 38 | 1.185 | 0.556     |
| 2.740    | 0.827 | 0.771              | 0.872              | 0.361 | 0.309              | 0.417              | 0.485 | 0.741 | 1.294 | 0.479 | 182 | 109 | 193 | 38 | 1.188 | 0.557     |
| 2.750    | 0.823 | 0.766              | 0.868              | 0.364 | 0.312              | 0.420              | 0.485 | 0.738 | 1.294 | 0.487 | 181 | 110 | 192 | 39 | 1.187 | 0.557     |
| 2.778    | 0.823 | 0.766              | 0.868              | 0.371 | 0.318              | 0.427              | 0.488 | 0.742 | 1.308 | 0.478 | 181 | 112 | 190 | 39 | 1.194 | 0.561     |
| 2.780    | 0.823 | 0.766              | 0.868              | 0.374 | 0.322              | 0.430              | 0.489 | 0.743 | 1.315 | 0.474 | 181 | 113 | 189 | 39 | 1.197 | 0.563     |
| 2.786    | 0.823 | 0.766              | 0.868              | 0.377 | 0.325              | 0.433              | 0.491 | 0.745 | 1.322 | 0.470 | 181 | 114 | 188 | 39 | 1.200 | 0.565     |

| 9_015625 | S     | Lim inferior (95%) | Lim superior (95%) | E     | Lim inferior (95%) | Lim superior (95%) | VPP   | VPN   | LR+   | LR-   | VP  | VN  | FP  | FN | S+E   | Precisión |
|----------|-------|--------------------|--------------------|-------|--------------------|--------------------|-------|-------|-------|-------|-----|-----|-----|----|-------|-----------|
| 2.794    | 0.823 | 0.766              | 0.868              | 0.381 | 0.328              | 0.437              | 0.492 | 0.747 | 1.329 | 0.466 | 181 | 115 | 187 | 39 | 1.204 | 0.567     |
| 2.798    | 0.823 | 0.766              | 0.868              | 0.384 | 0.331              | 0.440              | 0.493 | 0.748 | 1.336 | 0.462 | 181 | 116 | 186 | 39 | 1.207 | 0.569     |
| 2.800    | 0.823 | 0.766              | 0.868              | 0.387 | 0.334              | 0.444              | 0.495 | 0.750 | 1.343 | 0.458 | 181 | 117 | 185 | 39 | 1.210 | 0.571     |
| 2.811    | 0.823 | 0.766              | 0.868              | 0.391 | 0.337              | 0.447              | 0.496 | 0.752 | 1.350 | 0.454 | 181 | 118 | 184 | 39 | 1.213 | 0.573     |
| 2.822    | 0.823 | 0.766              | 0.868              | 0.394 | 0.341              | 0.450              | 0.497 | 0.753 | 1.358 | 0.450 | 181 | 119 | 183 | 39 | 1.217 | 0.575     |
| 2.832    | 0.823 | 0.766              | 0.868              | 0.397 | 0.344              | 0.454              | 0.499 | 0.755 | 1.365 | 0.446 | 181 | 120 | 182 | 39 | 1.220 | 0.577     |
| 2.837    | 0.823 | 0.766              | 0.868              | 0.401 | 0.347              | 0.457              | 0.500 | 0.756 | 1.373 | 0.442 | 181 | 121 | 181 | 39 | 1.223 | 0.579     |
| 2.841    | 0.823 | 0.766              | 0.868              | 0.404 | 0.350              | 0.460              | 0.501 | 0.758 | 1.380 | 0.439 | 181 | 122 | 180 | 39 | 1.227 | 0.580     |
| 2.857    | 0.823 | 0.766              | 0.868              | 0.407 | 0.353              | 0.464              | 0.503 | 0.759 | 1.388 | 0.435 | 181 | 123 | 179 | 39 | 1.230 | 0.582     |
| 2.871    | 0.823 | 0.766              | 0.868              | 0.411 | 0.357              | 0.467              | 0.504 | 0.761 | 1.396 | 0.432 | 181 | 124 | 178 | 39 | 1.233 | 0.584     |
| 2.886    | 0.823 | 0.766              | 0.868              | 0.414 | 0.360              | 0.470              | 0.506 | 0.762 | 1.404 | 0.428 | 181 | 125 | 177 | 39 | 1.237 | 0.586     |
| 2.889    | 0.823 | 0.766              | 0.868              | 0.417 | 0.363              | 0.474              | 0.507 | 0.764 | 1.412 | 0.425 | 181 | 126 | 176 | 39 | 1.240 | 0.588     |
| 2.892    | 0.823 | 0.766              | 0.868              | 0.421 | 0.366              | 0.477              | 0.508 | 0.765 | 1.420 | 0.422 | 181 | 127 | 175 | 39 | 1.243 | 0.590     |
| 2.894    | 0.818 | 0.761              | 0.864              | 0.421 | 0.366              | 0.477              | 0.507 | 0.760 | 1.412 | 0.432 | 180 | 127 | 175 | 40 | 1.239 | 0.588     |
| 2.905    | 0.814 | 0.756              | 0.860              | 0.421 | 0.366              | 0.477              | 0.506 | 0.756 | 1.404 | 0.443 | 179 | 127 | 175 | 41 | 1.234 | 0.586     |
| 2.905    | 0.814 | 0.756              | 0.860              | 0.424 | 0.369              | 0.480              | 0.507 | 0.757 | 1.412 | 0.440 | 179 | 128 | 174 | 41 | 1.237 | 0.588     |
| 2.912    | 0.814 | 0.756              | 0.860              | 0.427 | 0.373              | 0.484              | 0.509 | 0.759 | 1.420 | 0.436 | 179 | 129 | 173 | 41 | 1.241 | 0.590     |
| 2.915    | 0.814 | 0.756              | 0.860              | 0.430 | 0.376              | 0.487              | 0.510 | 0.760 | 1.429 | 0.433 | 179 | 130 | 172 | 41 | 1.244 | 0.592     |
| 2.916    | 0.814 | 0.756              | 0.860              | 0.434 | 0.379              | 0.490              | 0.511 | 0.762 | 1.437 | 0.430 | 179 | 131 | 171 | 41 | 1.247 | 0.594     |
| 2.923    | 0.814 | 0.756              | 0.860              | 0.437 | 0.382              | 0.493              | 0.513 | 0.763 | 1.445 | 0.426 | 179 | 132 | 170 | 41 | 1.251 | 0.596     |
| 2.934    | 0.814 | 0.756              | 0.860              | 0.440 | 0.386              | 0.497              | 0.514 | 0.764 | 1.454 | 0.423 | 179 | 133 | 169 | 41 | 1.254 | 0.598     |
| 2.940    | 0.814 | 0.756              | 0.860              | 0.444 | 0.389              | 0.500              | 0.516 | 0.766 | 1.463 | 0.420 | 179 | 134 | 168 | 41 | 1.257 | 0.600     |
| 2.940    | 0.814 | 0.756              | 0.860              | 0.447 | 0.392              | 0.503              | 0.517 | 0.767 | 1.471 | 0.417 | 179 | 135 | 167 | 41 | 1.261 | 0.602     |
| 2.941    | 0.809 | 0.752              | 0.856              | 0.447 | 0.392              | 0.503              | 0.516 | 0.763 | 1.463 | 0.427 | 178 | 135 | 167 | 42 | 1.256 | 0.600     |
| 2.947    | 0.809 | 0.752              | 0.856              | 0.450 | 0.395              | 0.507              | 0.517 | 0.764 | 1.472 | 0.424 | 178 | 136 | 166 | 42 | 1.259 | 0.602     |
| 2.956    | 0.809 | 0.752              | 0.856              | 0.454 | 0.398              | 0.510              | 0.519 | 0.765 | 1.481 | 0.421 | 178 | 137 | 165 | 42 | 1.263 | 0.603     |
| 2.957    | 0.809 | 0.752              | 0.856              | 0.457 | 0.402              | 0.513              | 0.520 | 0.767 | 1.490 | 0.418 | 178 | 138 | 164 | 42 | 1.266 | 0.605     |
| 2.958    | 0.809 | 0.752              | 0.856              | 0.460 | 0.405              | 0.517              | 0.522 | 0.768 | 1.499 | 0.415 | 178 | 139 | 163 | 42 | 1.269 | 0.607     |
| 2.963    | 0.805 | 0.747              | 0.852              | 0.460 | 0.405              | 0.517              | 0.521 | 0.764 | 1.491 | 0.425 | 177 | 139 | 163 | 43 | 1.265 | 0.605     |
| 2.967    | 0.800 | 0.742              | 0.848              | 0.460 | 0.405              | 0.517              | 0.519 | 0.760 | 1.482 | 0.435 | 176 | 139 | 163 | 44 | 1.260 | 0.603     |
| 2.973    | 0.795 | 0.737              | 0.844              | 0.460 | 0.405              | 0.517              | 0.518 | 0.755 | 1.474 | 0.444 | 175 | 139 | 163 | 45 | 1.256 | 0.602     |
| 3.000    | 0.795 | 0.737              | 0.844              | 0.467 | 0.411              | 0.523              | 0.521 | 0.758 | 1.492 | 0.438 | 175 | 141 | 161 | 45 | 1.262 | 0.605     |
| 3.000    | 0.791 | 0.732              | 0.839              | 0.470 | 0.415              | 0.527              | 0.521 | 0.755 | 1.493 | 0.445 | 174 | 142 | 160 | 46 | 1.261 | 0.605     |
| 3.007    | 0.791 | 0.732              | 0.839              | 0.474 | 0.418              | 0.530              | 0.523 | 0.757 | 1.502 | 0.442 | 174 | 143 | 159 | 46 | 1.264 | 0.607     |
| 3.011    | 0.791 | 0.732              | 0.839              | 0.477 | 0.421              | 0.533              | 0.524 | 0.758 | 1.512 | 0.439 | 174 | 144 | 158 | 46 | 1.268 | 0.609     |
| 3.029    | 0.791 | 0.732              | 0.839              | 0.480 | 0.424              | 0.536              | 0.526 | 0.759 | 1.521 | 0.435 | 174 | 145 | 157 | 46 | 1.271 | 0.611     |
| 3.043    | 0.786 | 0.727              | 0.835              | 0.480 | 0.424              | 0.536              | 0.524 | 0.755 | 1.513 | 0.445 | 173 | 145 | 157 | 47 | 1.266 | 0.609     |
| 3.059    | 0.782 | 0.722              | 0.831              | 0.480 | 0.424              | 0.536              | 0.523 | 0.751 | 1.504 | 0.454 | 172 | 145 | 157 | 48 | 1.262 | 0.607     |
| 3.061    | 0.782 | 0.722              | 0.831              | 0.483 | 0.428              | 0.540              | 0.524 | 0.753 | 1.514 | 0.451 | 172 | 146 | 156 | 48 | 1.265 | 0.609     |
| 3.067    | 0.782 | 0.722              | 0.831              | 0.487 | 0.431              | 0.543              | 0.526 | 0.754 | 1.523 | 0.448 | 172 | 147 | 155 | 48 | 1.269 | 0.611     |
| 3.067    | 0.782 | 0.722              | 0.831              | 0.490 | 0.434              | 0.546              | 0.528 | 0.755 | 1.533 | 0.445 | 172 | 148 | 154 | 48 | 1.272 | 0.613     |
| 3.071    | 0.773 | 0.713              | 0.823              | 0.490 | 0.434              | 0.546              | 0.525 | 0.747 | 1.515 | 0.464 | 170 | 148 | 154 | 50 | 1.263 | 0.609     |
| 3.074    | 0.768 | 0.708              | 0.819              | 0.490 | 0.434              | 0.546              | 0.523 | 0.744 | 1.506 | 0.473 | 169 | 148 | 154 | 51 | 1.258 | 0.607     |
| 3.091    | 0.768 | 0.708              | 0.819              | 0.493 | 0.437              | 0.549              | 0.525 | 0.745 | 1.516 | 0.470 | 169 | 149 | 153 | 51 | 1.262 | 0.609     |
| 3.116    | 0.764 | 0.703              | 0.815              | 0.493 | 0.437              | 0.549              | 0.523 | 0.741 | 1.507 | 0.479 | 168 | 149 | 153 | 52 | 1.257 | 0.607     |
| 3.122    | 0.764 | 0.703              | 0.815              | 0.497 | 0.441              | 0.553              | 0.525 | 0.743 | 1.517 | 0.476 | 168 | 150 | 152 | 52 | 1.260 | 0.609     |
| 3.154    | 0.759 | 0.698              | 0.811              | 0.497 | 0.441              | 0.553              | 0.524 | 0.739 | 1.508 | 0.485 | 167 | 150 | 152 | 53 | 1.256 | 0.607     |
| 3.187    | 0.759 | 0.698              | 0.811              | 0.500 | 0.444              | 0.556              | 0.525 | 0.740 | 1.518 | 0.482 | 167 | 151 | 151 | 53 | 1.259 | 0.609     |
| 3.200    | 0.759 | 0.698              | 0.811              | 0.503 | 0.447              | 0.559              | 0.527 | 0.741 | 1.528 | 0.479 | 167 | 152 | 150 | 53 | 1.262 | 0.611     |
| 3.200    | 0.759 | 0.698              | 0.811              | 0.507 | 0.451              | 0.563              | 0.528 | 0.743 | 1.539 | 0.476 | 167 | 153 | 149 | 53 | 1.266 | 0.613     |

| 9.015625 | S     | Lim inferior (95%) | Lim superior (95%) | E     | Lim inferior (95%) | Lim superior (95%) | VPP   | VPN   | LR+   | LR-   | VP  | VN  | FP  | FN | S+E   | Precisión |
|----------|-------|--------------------|--------------------|-------|--------------------|--------------------|-------|-------|-------|-------|-----|-----|-----|----|-------|-----------|
| 3.209    | 0.759 | 0.698              | 0.811              | 0.510 | 0.454              | 0.566              | 0.530 | 0.744 | 1.549 | 0.472 | 167 | 154 | 148 | 53 | 1.269 | 0.615     |
| 3.222    | 0.759 | 0.698              | 0.811              | 0.513 | 0.457              | 0.569              | 0.532 | 0.745 | 1.559 | 0.469 | 167 | 155 | 147 | 53 | 1.272 | 0.617     |
| 3.224    | 0.755 | 0.693              | 0.807              | 0.513 | 0.457              | 0.569              | 0.530 | 0.742 | 1.550 | 0.478 | 166 | 155 | 147 | 54 | 1.268 | 0.615     |
| 3.267    | 0.755 | 0.693              | 0.807              | 0.517 | 0.460              | 0.572              | 0.532 | 0.743 | 1.561 | 0.475 | 166 | 156 | 146 | 54 | 1.271 | 0.617     |
| 3.269    | 0.750 | 0.688              | 0.803              | 0.517 | 0.460              | 0.572              | 0.531 | 0.739 | 1.551 | 0.484 | 165 | 156 | 146 | 55 | 1.267 | 0.615     |
| 3.278    | 0.750 | 0.688              | 0.803              | 0.520 | 0.464              | 0.576              | 0.532 | 0.741 | 1.562 | 0.481 | 165 | 157 | 145 | 55 | 1.270 | 0.617     |
| 3.286    | 0.750 | 0.688              | 0.803              | 0.523 | 0.467              | 0.579              | 0.534 | 0.742 | 1.573 | 0.478 | 165 | 158 | 144 | 55 | 1.273 | 0.619     |
| 3.300    | 0.745 | 0.684              | 0.798              | 0.523 | 0.467              | 0.579              | 0.532 | 0.738 | 1.563 | 0.487 | 164 | 158 | 144 | 56 | 1.269 | 0.617     |
| 3.319    | 0.745 | 0.684              | 0.798              | 0.526 | 0.470              | 0.582              | 0.534 | 0.740 | 1.574 | 0.483 | 164 | 159 | 143 | 56 | 1.272 | 0.619     |
| 3.333    | 0.741 | 0.679              | 0.794              | 0.526 | 0.470              | 0.582              | 0.533 | 0.736 | 1.565 | 0.492 | 163 | 159 | 143 | 57 | 1.267 | 0.617     |
| 3.333    | 0.736 | 0.674              | 0.790              | 0.526 | 0.470              | 0.582              | 0.531 | 0.733 | 1.555 | 0.501 | 162 | 159 | 143 | 58 | 1.263 | 0.615     |
| 3.347    | 0.736 | 0.674              | 0.790              | 0.530 | 0.473              | 0.585              | 0.533 | 0.734 | 1.566 | 0.498 | 162 | 160 | 142 | 58 | 1.266 | 0.617     |
| 3.348    | 0.736 | 0.674              | 0.790              | 0.533 | 0.477              | 0.589              | 0.535 | 0.735 | 1.577 | 0.495 | 162 | 161 | 141 | 58 | 1.269 | 0.619     |
| 3.353    | 0.732 | 0.669              | 0.786              | 0.533 | 0.477              | 0.589              | 0.533 | 0.732 | 1.567 | 0.503 | 161 | 161 | 141 | 59 | 1.265 | 0.617     |
| 3.355    | 0.727 | 0.665              | 0.782              | 0.533 | 0.477              | 0.589              | 0.532 | 0.729 | 1.558 | 0.512 | 160 | 161 | 141 | 60 | 1.260 | 0.615     |
| 3.375    | 0.727 | 0.665              | 0.782              | 0.536 | 0.480              | 0.592              | 0.533 | 0.730 | 1.569 | 0.508 | 160 | 162 | 140 | 60 | 1.264 | 0.617     |
| 3.389    | 0.723 | 0.660              | 0.778              | 0.536 | 0.480              | 0.592              | 0.532 | 0.726 | 1.559 | 0.517 | 159 | 162 | 140 | 61 | 1.259 | 0.615     |
| 3.433    | 0.723 | 0.660              | 0.778              | 0.540 | 0.483              | 0.595              | 0.534 | 0.728 | 1.570 | 0.514 | 159 | 163 | 139 | 61 | 1.262 | 0.617     |
| 3.456    | 0.723 | 0.660              | 0.778              | 0.543 | 0.487              | 0.598              | 0.535 | 0.729 | 1.582 | 0.511 | 159 | 164 | 138 | 61 | 1.266 | 0.619     |
| 3.457    | 0.723 | 0.660              | 0.778              | 0.546 | 0.490              | 0.602              | 0.537 | 0.730 | 1.593 | 0.507 | 159 | 165 | 137 | 61 | 1.269 | 0.621     |
| 3.461    | 0.718 | 0.655              | 0.773              | 0.546 | 0.490              | 0.602              | 0.536 | 0.727 | 1.583 | 0.516 | 158 | 165 | 137 | 62 | 1.265 | 0.619     |
| 3.484    | 0.718 | 0.655              | 0.773              | 0.550 | 0.493              | 0.605              | 0.537 | 0.728 | 1.595 | 0.513 | 158 | 166 | 136 | 62 | 1.268 | 0.621     |
| 3.490    | 0.718 | 0.655              | 0.773              | 0.553 | 0.497              | 0.608              | 0.539 | 0.729 | 1.607 | 0.510 | 158 | 167 | 135 | 62 | 1.271 | 0.623     |
| 3.494    | 0.718 | 0.655              | 0.773              | 0.556 | 0.500              | 0.611              | 0.541 | 0.730 | 1.619 | 0.507 | 158 | 168 | 134 | 62 | 1.274 | 0.625     |
| 3.511    | 0.714 | 0.650              | 0.769              | 0.556 | 0.500              | 0.611              | 0.540 | 0.727 | 1.608 | 0.515 | 157 | 168 | 134 | 63 | 1.270 | 0.623     |
| 3.524    | 0.709 | 0.646              | 0.765              | 0.556 | 0.500              | 0.611              | 0.538 | 0.724 | 1.598 | 0.523 | 156 | 168 | 134 | 64 | 1.265 | 0.621     |
| 3.538    | 0.709 | 0.646              | 0.765              | 0.563 | 0.507              | 0.618              | 0.542 | 0.726 | 1.622 | 0.517 | 156 | 170 | 132 | 64 | 1.272 | 0.625     |
| 3.538    | 0.709 | 0.646              | 0.765              | 0.566 | 0.510              | 0.621              | 0.544 | 0.728 | 1.635 | 0.514 | 156 | 171 | 131 | 64 | 1.275 | 0.626     |
| 3.550    | 0.709 | 0.646              | 0.765              | 0.570 | 0.513              | 0.624              | 0.545 | 0.729 | 1.647 | 0.511 | 156 | 172 | 130 | 64 | 1.279 | 0.628     |
| 3.574    | 0.709 | 0.646              | 0.765              | 0.573 | 0.516              | 0.627              | 0.547 | 0.730 | 1.660 | 0.508 | 156 | 173 | 129 | 64 | 1.282 | 0.630     |
| 3.577    | 0.705 | 0.641              | 0.761              | 0.573 | 0.516              | 0.627              | 0.546 | 0.727 | 1.649 | 0.516 | 155 | 173 | 129 | 65 | 1.277 | 0.628     |
| 3.581    | 0.705 | 0.641              | 0.761              | 0.576 | 0.520              | 0.631              | 0.548 | 0.728 | 1.662 | 0.513 | 155 | 174 | 128 | 65 | 1.281 | 0.630     |
| 3.597    | 0.700 | 0.636              | 0.757              | 0.576 | 0.520              | 0.631              | 0.546 | 0.725 | 1.652 | 0.521 | 154 | 174 | 128 | 66 | 1.276 | 0.628     |
| 3.628    | 0.700 | 0.636              | 0.757              | 0.579 | 0.523              | 0.634              | 0.548 | 0.726 | 1.665 | 0.518 | 154 | 175 | 127 | 66 | 1.279 | 0.630     |
| 3.635    | 0.700 | 0.636              | 0.757              | 0.583 | 0.526              | 0.637              | 0.550 | 0.727 | 1.678 | 0.515 | 154 | 176 | 126 | 66 | 1.283 | 0.632     |
| 3.654    | 0.700 | 0.636              | 0.757              | 0.586 | 0.530              | 0.640              | 0.552 | 0.728 | 1.691 | 0.512 | 154 | 177 | 125 | 66 | 1.286 | 0.634     |
| 3.668    | 0.700 | 0.636              | 0.757              | 0.589 | 0.533              | 0.643              | 0.554 | 0.730 | 1.705 | 0.509 | 154 | 178 | 124 | 66 | 1.289 | 0.636     |
| 3.672    | 0.700 | 0.636              | 0.757              | 0.593 | 0.536              | 0.647              | 0.556 | 0.731 | 1.719 | 0.506 | 154 | 179 | 123 | 66 | 1.293 | 0.638     |
| 3.672    | 0.695 | 0.632              | 0.752              | 0.593 | 0.536              | 0.647              | 0.554 | 0.728 | 1.708 | 0.514 | 153 | 179 | 123 | 67 | 1.288 | 0.636     |
| 3.676    | 0.691 | 0.627              | 0.748              | 0.593 | 0.536              | 0.647              | 0.553 | 0.725 | 1.696 | 0.521 | 152 | 179 | 123 | 68 | 1.284 | 0.634     |
| 3.692    | 0.691 | 0.627              | 0.748              | 0.599 | 0.543              | 0.653              | 0.557 | 0.727 | 1.724 | 0.516 | 152 | 181 | 121 | 68 | 1.290 | 0.638     |
| 3.700    | 0.691 | 0.627              | 0.748              | 0.603 | 0.546              | 0.656              | 0.559 | 0.728 | 1.739 | 0.513 | 152 | 182 | 120 | 68 | 1.294 | 0.640     |
| 3.701    | 0.691 | 0.627              | 0.748              | 0.606 | 0.550              | 0.659              | 0.561 | 0.729 | 1.753 | 0.510 | 152 | 183 | 119 | 68 | 1.297 | 0.642     |
| 3.738    | 0.691 | 0.627              | 0.748              | 0.609 | 0.553              | 0.663              | 0.563 | 0.730 | 1.768 | 0.507 | 152 | 184 | 118 | 68 | 1.300 | 0.644     |
| 3.760    | 0.691 | 0.627              | 0.748              | 0.613 | 0.556              | 0.666              | 0.565 | 0.731 | 1.783 | 0.505 | 152 | 185 | 117 | 68 | 1.303 | 0.646     |
| 3.765    | 0.686 | 0.622              | 0.744              | 0.613 | 0.556              | 0.666              | 0.563 | 0.728 | 1.772 | 0.512 | 151 | 185 | 117 | 69 | 1.299 | 0.644     |
| 3.790    | 0.682 | 0.617              | 0.740              | 0.613 | 0.556              | 0.666              | 0.562 | 0.725 | 1.760 | 0.519 | 150 | 185 | 117 | 70 | 1.294 | 0.642     |
| 3.797    | 0.677 | 0.613              | 0.735              | 0.613 | 0.556              | 0.666              | 0.560 | 0.723 | 1.748 | 0.527 | 149 | 185 | 117 | 71 | 1.290 | 0.640     |
| 3.810    | 0.677 | 0.613              | 0.735              | 0.616 | 0.560              | 0.669              | 0.562 | 0.724 | 1.763 | 0.524 | 149 | 186 | 116 | 71 | 1.293 | 0.642     |
| 3.813    | 0.677 | 0.613              | 0.735              | 0.619 | 0.563              | 0.672              | 0.564 | 0.725 | 1.779 | 0.521 | 149 | 187 | 115 | 71 | 1.296 | 0.644     |

| 9.015625     | S            | Lim inferior (95%) | Lim superior (95%) | E            | Lim inferior (95%) | Lim superior (95%) | VPP          | VPN          | LR+          | LR-          | VP         | VN         | FP         | FN        | S+E          | Precisión    |
|--------------|--------------|--------------------|--------------------|--------------|--------------------|--------------------|--------------|--------------|--------------|--------------|------------|------------|------------|-----------|--------------|--------------|
| 3.823        | 0.677        | 0.613              | 0.735              | 0.623        | 0.567              | 0.675              | 0.567        | 0.726        | 1.794        | 0.518        | 149        | 188        | 114        | 71        | 1.300        | 0.646        |
| 3.825        | 0.673        | 0.608              | 0.731              | 0.623        | 0.567              | 0.675              | 0.565        | 0.723        | 1.782        | 0.526        | 148        | 188        | 114        | 72        | 1.295        | 0.644        |
| 3.833        | 0.673        | 0.608              | 0.731              | 0.626        | 0.570              | 0.678              | 0.567        | 0.724        | 1.798        | 0.523        | 148        | 189        | 113        | 72        | 1.299        | 0.646        |
| 3.865        | 0.668        | 0.603              | 0.727              | 0.626        | 0.570              | 0.678              | 0.565        | 0.721        | 1.786        | 0.530        | 147        | 189        | 113        | 73        | 1.294        | 0.644        |
| 3.882        | 0.668        | 0.603              | 0.727              | 0.629        | 0.573              | 0.682              | 0.568        | 0.722        | 1.802        | 0.527        | 147        | 190        | 112        | 73        | 1.297        | 0.646        |
| 3.892        | 0.664        | 0.599              | 0.723              | 0.629        | 0.573              | 0.682              | 0.566        | 0.720        | 1.789        | 0.535        | 146        | 190        | 112        | 74        | 1.293        | 0.644        |
| 3.904        | 0.664        | 0.599              | 0.723              | 0.632        | 0.577              | 0.685              | 0.568        | 0.721        | 1.806        | 0.532        | 146        | 191        | 111        | 74        | 1.296        | 0.646        |
| 3.907        | 0.664        | 0.599              | 0.723              | 0.636        | 0.580              | 0.688              | 0.570        | 0.722        | 1.822        | 0.529        | 146        | 192        | 110        | 74        | 1.299        | 0.648        |
| 3.953        | 0.664        | 0.599              | 0.723              | 0.639        | 0.583              | 0.691              | 0.573        | 0.723        | 1.839        | 0.526        | 146        | 193        | 109        | 74        | 1.303        | 0.649        |
| <b>3.964</b> | <b>0.664</b> | <b>0.599</b>       | <b>0.723</b>       | <b>0.642</b> | <b>0.587</b>       | <b>0.694</b>       | <b>0.575</b> | <b>0.724</b> | <b>1.856</b> | <b>0.524</b> | <b>146</b> | <b>194</b> | <b>108</b> | <b>74</b> | <b>1.306</b> | <b>0.651</b> |
| 3.966        | 0.659        | 0.594              | 0.718              | 0.642        | 0.587              | 0.694              | 0.573        | 0.721        | 1.843        | 0.531        | 145        | 194        | 108        | 75        | 1.301        | 0.649        |
| 3.966        | 0.655        | 0.589              | 0.714              | 0.642        | 0.587              | 0.694              | 0.571        | 0.719        | 1.830        | 0.538        | 144        | 194        | 108        | 76        | 1.297        | 0.648        |
| 3.969        | 0.650        | 0.585              | 0.710              | 0.642        | 0.587              | 0.694              | 0.570        | 0.716        | 1.818        | 0.545        | 143        | 194        | 108        | 77        | 1.292        | 0.646        |
| 3.973        | 0.650        | 0.585              | 0.710              | 0.646        | 0.590              | 0.697              | 0.572        | 0.717        | 1.835        | 0.542        | 143        | 195        | 107        | 77        | 1.296        | 0.648        |
| 3.987        | 0.645        | 0.580              | 0.706              | 0.646        | 0.590              | 0.697              | 0.570        | 0.714        | 1.822        | 0.549        | 142        | 195        | 107        | 78        | 1.291        | 0.646        |
| 3.995        | 0.645        | 0.580              | 0.706              | 0.649        | 0.594              | 0.701              | 0.573        | 0.715        | 1.839        | 0.546        | 142        | 196        | 106        | 78        | 1.294        | 0.648        |
| 4.000        | 0.636        | 0.571              | 0.697              | 0.656        | 0.600              | 0.707              | 0.574        | 0.712        | 1.848        | 0.555        | 140        | 198        | 104        | 80        | 1.292        | 0.648        |
| 4.030        | 0.632        | 0.566              | 0.693              | 0.656        | 0.600              | 0.707              | 0.572        | 0.710        | 1.835        | 0.562        | 139        | 198        | 104        | 81        | 1.287        | 0.646        |
| 4.032        | 0.632        | 0.566              | 0.693              | 0.659        | 0.604              | 0.710              | 0.574        | 0.711        | 1.853        | 0.559        | 139        | 199        | 103        | 81        | 1.291        | 0.648        |
| 4.045        | 0.632        | 0.566              | 0.693              | 0.662        | 0.607              | 0.713              | 0.577        | 0.712        | 1.871        | 0.556        | 139        | 200        | 102        | 81        | 1.294        | 0.649        |
| 4.070        | 0.632        | 0.566              | 0.693              | 0.666        | 0.610              | 0.716              | 0.579        | 0.713        | 1.889        | 0.553        | 139        | 201        | 101        | 81        | 1.297        | 0.651        |
| 4.082        | 0.632        | 0.566              | 0.693              | 0.669        | 0.614              | 0.719              | 0.582        | 0.714        | 1.908        | 0.550        | 139        | 202        | 100        | 81        | 1.301        | 0.653        |
| 4.084        | 0.632        | 0.566              | 0.693              | 0.672        | 0.617              | 0.723              | 0.584        | 0.715        | 1.927        | 0.548        | 139        | 203        | 99         | 81        | 1.304        | 0.655        |
| 4.088        | 0.627        | 0.562              | 0.688              | 0.672        | 0.617              | 0.723              | 0.582        | 0.712        | 1.913        | 0.555        | 138        | 203        | 99         | 82        | 1.299        | 0.653        |
| 4.101        | 0.623        | 0.557              | 0.684              | 0.672        | 0.617              | 0.723              | 0.581        | 0.710        | 1.900        | 0.561        | 137        | 203        | 99         | 83        | 1.295        | 0.651        |
| 4.160        | 0.618        | 0.552              | 0.680              | 0.672        | 0.617              | 0.723              | 0.579        | 0.707        | 1.886        | 0.568        | 136        | 203        | 99         | 84        | 1.290        | 0.649        |
| 4.190        | 0.618        | 0.552              | 0.680              | 0.675        | 0.621              | 0.726              | 0.581        | 0.708        | 1.905        | 0.565        | 136        | 204        | 98         | 84        | 1.294        | 0.651        |
| 4.199        | 0.614        | 0.548              | 0.675              | 0.675        | 0.621              | 0.726              | 0.579        | 0.706        | 1.891        | 0.572        | 135        | 204        | 98         | 85        | 1.289        | 0.649        |
| 4.215        | 0.614        | 0.548              | 0.675              | 0.675        | 0.624              | 0.729              | 0.582        | 0.707        | 1.910        | 0.569        | 135        | 205        | 97         | 85        | 1.292        | 0.651        |
| 4.222        | 0.614        | 0.548              | 0.675              | 0.682        | 0.627              | 0.732              | 0.584        | 0.708        | 1.930        | 0.566        | 135        | 206        | 96         | 85        | 1.296        | 0.653        |
| 4.225        | 0.614        | 0.548              | 0.675              | 0.685        | 0.631              | 0.735              | 0.587        | 0.709        | 1.951        | 0.564        | 135        | 207        | 95         | 85        | 1.299        | 0.655        |
| 4.267        | 0.609        | 0.543              | 0.671              | 0.685        | 0.631              | 0.735              | 0.585        | 0.706        | 1.936        | 0.570        | 134        | 207        | 95         | 86        | 1.295        | 0.653        |
| 4.267        | 0.609        | 0.543              | 0.671              | 0.689        | 0.634              | 0.738              | 0.588        | 0.707        | 1.957        | 0.568        | 134        | 208        | 94         | 86        | 1.298        | 0.655        |
| 4.276        | 0.609        | 0.543              | 0.671              | 0.692        | 0.638              | 0.741              | 0.590        | 0.708        | 1.978        | 0.565        | 134        | 209        | 93         | 86        | 1.301        | 0.657        |
| 4.284        | 0.605        | 0.539              | 0.667              | 0.692        | 0.638              | 0.741              | 0.588        | 0.706        | 1.963        | 0.571        | 133        | 209        | 93         | 87        | 1.297        | 0.655        |
| 4.298        | 0.600        | 0.534              | 0.662              | 0.692        | 0.638              | 0.741              | 0.587        | 0.704        | 1.948        | 0.578        | 132        | 209        | 93         | 88        | 1.292        | 0.653        |
| 4.316        | 0.595        | 0.529              | 0.658              | 0.692        | 0.638              | 0.741              | 0.585        | 0.701        | 1.934        | 0.585        | 131        | 209        | 93         | 89        | 1.288        | 0.651        |
| 4.320        | 0.595        | 0.529              | 0.658              | 0.695        | 0.641              | 0.744              | 0.587        | 0.702        | 1.955        | 0.582        | 131        | 210        | 92         | 89        | 1.291        | 0.653        |
| 4.342        | 0.591        | 0.525              | 0.654              | 0.695        | 0.641              | 0.744              | 0.586        | 0.700        | 1.940        | 0.588        | 130        | 210        | 92         | 90        | 1.286        | 0.651        |
| 4.352        | 0.586        | 0.520              | 0.649              | 0.695        | 0.641              | 0.744              | 0.584        | 0.698        | 1.925        | 0.595        | 129        | 210        | 92         | 91        | 1.282        | 0.649        |
| 4.400        | 0.586        | 0.520              | 0.649              | 0.699        | 0.645              | 0.748              | 0.586        | 0.699        | 1.946        | 0.592        | 129        | 211        | 91         | 91        | 1.285        | 0.651        |
| 4.400        | 0.586        | 0.520              | 0.649              | 0.702        | 0.648              | 0.751              | 0.589        | 0.700        | 1.968        | 0.589        | 129        | 212        | 90         | 91        | 1.288        | 0.653        |
| 4.474        | 0.582        | 0.516              | 0.645              | 0.702        | 0.648              | 0.751              | 0.587        | 0.697        | 1.952        | 0.596        | 128        | 212        | 90         | 92        | 1.284        | 0.651        |
| 4.488        | 0.582        | 0.516              | 0.645              | 0.705        | 0.651              | 0.754              | 0.590        | 0.698        | 1.974        | 0.593        | 128        | 213        | 89         | 92        | 1.287        | 0.653        |
| 4.533        | 0.577        | 0.511              | 0.641              | 0.705        | 0.651              | 0.754              | 0.588        | 0.696        | 1.959        | 0.599        | 127        | 213        | 89         | 93        | 1.283        | 0.651        |
| 4.541        | 0.577        | 0.511              | 0.641              | 0.709        | 0.655              | 0.757              | 0.591        | 0.697        | 1.981        | 0.597        | 127        | 214        | 88         | 93        | 1.286        | 0.653        |
| 4.600        | 0.573        | 0.507              | 0.636              | 0.709        | 0.655              | 0.757              | 0.589        | 0.695        | 1.965        | 0.603        | 126        | 214        | 88         | 94        | 1.281        | 0.651        |
| 4.613        | 0.568        | 0.502              | 0.632              | 0.709        | 0.655              | 0.757              | 0.587        | 0.693        | 1.950        | 0.609        | 125        | 214        | 88         | 95        | 1.277        | 0.649        |
| 4.632        | 0.564        | 0.498              | 0.627              | 0.709        | 0.655              | 0.757              | 0.585        | 0.690        | 1.934        | 0.616        | 124        | 214        | 88         | 96        | 1.272        | 0.648        |
| 4.706        | 0.559        | 0.493              | 0.623              | 0.709        | 0.655              | 0.757              | 0.583        | 0.688        | 1.919        | 0.622        | 123        | 214        | 88         | 97        | 1.268        | 0.646        |

| 9.015625 | S     | Lim inferior (95%) | Lim superior (95%) | E     | Lim inferior (95%) | Lim superior (95%) | VPP   | VPN   | LR+   | LR-   | VP  | VN  | FP | FN  | S+E   | Precisión |
|----------|-------|--------------------|--------------------|-------|--------------------|--------------------|-------|-------|-------|-------|-----|-----|----|-----|-------|-----------|
| 4.740    | 0.559 | 0.493              | 0.623              | 0.712 | 0.658              | 0.760              | 0.586 | 0.689 | 1.941 | 0.619 | 123 | 215 | 87 | 97  | 1.271 | 0.648     |
| 4.753    | 0.555 | 0.488              | 0.619              | 0.712 | 0.658              | 0.760              | 0.584 | 0.687 | 1.925 | 0.626 | 122 | 215 | 87 | 98  | 1.266 | 0.646     |
| 4.754    | 0.550 | 0.484              | 0.614              | 0.712 | 0.658              | 0.760              | 0.582 | 0.685 | 1.909 | 0.632 | 121 | 215 | 87 | 99  | 1.262 | 0.644     |
| 4.791    | 0.545 | 0.479              | 0.610              | 0.712 | 0.658              | 0.760              | 0.580 | 0.683 | 1.893 | 0.638 | 120 | 215 | 87 | 100 | 1.257 | 0.642     |
| 4.810    | 0.541 | 0.475              | 0.605              | 0.712 | 0.658              | 0.760              | 0.578 | 0.680 | 1.878 | 0.645 | 119 | 215 | 87 | 101 | 1.253 | 0.640     |
| 4.818    | 0.536 | 0.470              | 0.601              | 0.712 | 0.658              | 0.760              | 0.576 | 0.678 | 1.862 | 0.651 | 118 | 215 | 87 | 102 | 1.248 | 0.638     |
| 4.819    | 0.532 | 0.466              | 0.597              | 0.712 | 0.658              | 0.760              | 0.574 | 0.676 | 1.846 | 0.658 | 117 | 215 | 87 | 103 | 1.244 | 0.636     |
| 4.844    | 0.532 | 0.466              | 0.597              | 0.715 | 0.662              | 0.763              | 0.576 | 0.677 | 1.868 | 0.655 | 117 | 216 | 86 | 103 | 1.247 | 0.638     |
| 4.890    | 0.532 | 0.466              | 0.597              | 0.719 | 0.665              | 0.766              | 0.579 | 0.678 | 1.890 | 0.652 | 117 | 217 | 85 | 103 | 1.250 | 0.640     |
| 4.900    | 0.532 | 0.466              | 0.597              | 0.722 | 0.669              | 0.769              | 0.582 | 0.679 | 1.912 | 0.649 | 117 | 218 | 84 | 103 | 1.254 | 0.642     |
| 4.915    | 0.527 | 0.461              | 0.592              | 0.722 | 0.669              | 0.769              | 0.580 | 0.677 | 1.896 | 0.655 | 116 | 218 | 84 | 104 | 1.249 | 0.640     |
| 4.930    | 0.523 | 0.457              | 0.588              | 0.722 | 0.669              | 0.769              | 0.578 | 0.675 | 1.879 | 0.661 | 115 | 218 | 84 | 105 | 1.245 | 0.638     |
| 4.931    | 0.518 | 0.452              | 0.583              | 0.722 | 0.669              | 0.769              | 0.576 | 0.673 | 1.863 | 0.667 | 114 | 218 | 84 | 106 | 1.240 | 0.636     |
| 4.939    | 0.518 | 0.452              | 0.583              | 0.725 | 0.672              | 0.772              | 0.579 | 0.674 | 1.885 | 0.664 | 114 | 219 | 83 | 106 | 1.243 | 0.638     |
| 5.079    | 0.518 | 0.452              | 0.583              | 0.728 | 0.675              | 0.775              | 0.582 | 0.675 | 1.908 | 0.661 | 114 | 220 | 82 | 106 | 1.247 | 0.640     |
| 5.083    | 0.514 | 0.448              | 0.579              | 0.728 | 0.675              | 0.775              | 0.579 | 0.673 | 1.892 | 0.668 | 113 | 220 | 82 | 107 | 1.242 | 0.638     |
| 5.097    | 0.514 | 0.448              | 0.579              | 0.732 | 0.679              | 0.779              | 0.582 | 0.674 | 1.915 | 0.665 | 113 | 221 | 81 | 107 | 1.245 | 0.640     |
| 5.104    | 0.514 | 0.448              | 0.579              | 0.735 | 0.682              | 0.782              | 0.585 | 0.675 | 1.939 | 0.662 | 113 | 222 | 80 | 107 | 1.249 | 0.642     |
| 5.107    | 0.514 | 0.448              | 0.579              | 0.738 | 0.686              | 0.785              | 0.589 | 0.676 | 1.964 | 0.659 | 113 | 223 | 79 | 107 | 1.252 | 0.644     |
| 5.115    | 0.514 | 0.448              | 0.579              | 0.742 | 0.689              | 0.788              | 0.592 | 0.677 | 1.989 | 0.656 | 113 | 224 | 78 | 107 | 1.255 | 0.646     |
| 5.129    | 0.514 | 0.448              | 0.579              | 0.745 | 0.693              | 0.791              | 0.595 | 0.678 | 2.015 | 0.653 | 113 | 225 | 77 | 107 | 1.259 | 0.648     |
| 5.132    | 0.509 | 0.443              | 0.574              | 0.745 | 0.693              | 0.791              | 0.593 | 0.676 | 1.997 | 0.659 | 112 | 225 | 77 | 108 | 1.254 | 0.646     |
| 5.133    | 0.509 | 0.443              | 0.574              | 0.748 | 0.696              | 0.794              | 0.596 | 0.677 | 2.023 | 0.656 | 112 | 226 | 76 | 108 | 1.257 | 0.648     |
| 5.165    | 0.509 | 0.443              | 0.574              | 0.752 | 0.700              | 0.797              | 0.599 | 0.678 | 2.050 | 0.653 | 112 | 227 | 75 | 108 | 1.261 | 0.649     |
| 5.200    | 0.509 | 0.443              | 0.574              | 0.755 | 0.703              | 0.800              | 0.602 | 0.679 | 2.078 | 0.650 | 112 | 228 | 74 | 108 | 1.264 | 0.651     |
| 5.238    | 0.509 | 0.443              | 0.574              | 0.758 | 0.707              | 0.803              | 0.605 | 0.680 | 2.106 | 0.647 | 112 | 229 | 73 | 108 | 1.267 | 0.653     |
| 5.242    | 0.505 | 0.439              | 0.570              | 0.758 | 0.707              | 0.803              | 0.603 | 0.678 | 2.087 | 0.653 | 111 | 229 | 73 | 109 | 1.263 | 0.651     |
| 5.275    | 0.500 | 0.435              | 0.565              | 0.758 | 0.707              | 0.803              | 0.601 | 0.676 | 2.068 | 0.659 | 110 | 229 | 73 | 110 | 1.258 | 0.649     |
| 5.284    | 0.500 | 0.435              | 0.565              | 0.762 | 0.710              | 0.806              | 0.604 | 0.676 | 2.097 | 0.657 | 110 | 230 | 72 | 110 | 1.262 | 0.651     |
| 5.304    | 0.495 | 0.430              | 0.561              | 0.762 | 0.710              | 0.806              | 0.602 | 0.674 | 2.078 | 0.662 | 109 | 230 | 72 | 111 | 1.257 | 0.649     |
| 5.353    | 0.491 | 0.426              | 0.557              | 0.762 | 0.710              | 0.806              | 0.600 | 0.673 | 2.059 | 0.668 | 108 | 230 | 72 | 112 | 1.252 | 0.648     |
| 5.378    | 0.486 | 0.421              | 0.552              | 0.762 | 0.710              | 0.806              | 0.598 | 0.671 | 2.040 | 0.674 | 107 | 230 | 72 | 113 | 1.248 | 0.646     |
| 5.427    | 0.482 | 0.417              | 0.548              | 0.762 | 0.710              | 0.806              | 0.596 | 0.669 | 2.021 | 0.680 | 106 | 230 | 72 | 114 | 1.243 | 0.644     |
| 5.439    | 0.477 | 0.412              | 0.543              | 0.762 | 0.710              | 0.806              | 0.593 | 0.667 | 2.002 | 0.686 | 105 | 230 | 72 | 115 | 1.239 | 0.642     |
| 5.477    | 0.477 | 0.412              | 0.543              | 0.765 | 0.714              | 0.809              | 0.597 | 0.668 | 2.030 | 0.683 | 105 | 231 | 71 | 115 | 1.242 | 0.644     |
| 5.539    | 0.477 | 0.412              | 0.543              | 0.768 | 0.717              | 0.812              | 0.600 | 0.669 | 2.059 | 0.680 | 105 | 232 | 70 | 115 | 1.245 | 0.646     |
| 5.545    | 0.473 | 0.408              | 0.539              | 0.768 | 0.717              | 0.812              | 0.598 | 0.667 | 2.039 | 0.686 | 104 | 232 | 70 | 116 | 1.241 | 0.644     |
| 5.567    | 0.468 | 0.403              | 0.534              | 0.768 | 0.717              | 0.812              | 0.595 | 0.665 | 2.020 | 0.692 | 103 | 232 | 70 | 117 | 1.236 | 0.642     |
| 5.587    | 0.468 | 0.403              | 0.534              | 0.772 | 0.721              | 0.815              | 0.599 | 0.666 | 2.049 | 0.689 | 103 | 233 | 69 | 117 | 1.240 | 0.644     |
| 5.594    | 0.464 | 0.399              | 0.530              | 0.772 | 0.721              | 0.815              | 0.596 | 0.664 | 2.029 | 0.695 | 102 | 233 | 69 | 118 | 1.235 | 0.642     |
| 5.600    | 0.464 | 0.399              | 0.530              | 0.775 | 0.724              | 0.818              | 0.600 | 0.665 | 2.059 | 0.692 | 102 | 234 | 68 | 118 | 1.238 | 0.644     |
| 5.629    | 0.464 | 0.399              | 0.530              | 0.778 | 0.728              | 0.821              | 0.604 | 0.666 | 2.090 | 0.689 | 102 | 235 | 67 | 118 | 1.242 | 0.646     |
| 5.636    | 0.459 | 0.395              | 0.525              | 0.778 | 0.728              | 0.821              | 0.601 | 0.664 | 2.069 | 0.695 | 101 | 235 | 67 | 119 | 1.237 | 0.644     |
| 5.638    | 0.459 | 0.395              | 0.525              | 0.781 | 0.731              | 0.824              | 0.605 | 0.665 | 2.101 | 0.692 | 101 | 236 | 66 | 119 | 1.241 | 0.646     |
| 5.652    | 0.459 | 0.395              | 0.525              | 0.785 | 0.735              | 0.827              | 0.608 | 0.666 | 2.133 | 0.689 | 101 | 237 | 65 | 119 | 1.244 | 0.648     |
| 5.688    | 0.459 | 0.395              | 0.525              | 0.788 | 0.738              | 0.830              | 0.612 | 0.667 | 2.166 | 0.686 | 101 | 238 | 64 | 119 | 1.247 | 0.649     |
| 5.693    | 0.455 | 0.390              | 0.521              | 0.788 | 0.738              | 0.830              | 0.610 | 0.665 | 2.145 | 0.692 | 100 | 238 | 64 | 120 | 1.243 | 0.648     |
| 5.700    | 0.450 | 0.386              | 0.516              | 0.791 | 0.742              | 0.833              | 0.611 | 0.664 | 2.157 | 0.695 | 99  | 239 | 63 | 121 | 1.241 | 0.648     |
| 5.704    | 0.450 | 0.386              | 0.516              | 0.795 | 0.745              | 0.836              | 0.615 | 0.665 | 2.192 | 0.692 | 99  | 240 | 62 | 121 | 1.245 | 0.649     |
| 5.842    | 0.445 | 0.381              | 0.512              | 0.795 | 0.745              | 0.836              | 0.613 | 0.663 | 2.170 | 0.698 | 98  | 240 | 62 | 122 | 1.240 | 0.648     |

| 9.015625 | S     | Lim inferior (95%) | Lim superior (95%) | E     | Lim inferior (95%) | Lim superior (95%) | VPP   | VPN   | LR+   | LR-   | VP | VN  | FP | FN  | S+E   | Precisión |
|----------|-------|--------------------|--------------------|-------|--------------------|--------------------|-------|-------|-------|-------|----|-----|----|-----|-------|-----------|
| 5.909    | 0.441 | 0.377              | 0.507              | 0.795 | 0.745              | 0.836              | 0.610 | 0.661 | 2.148 | 0.704 | 97 | 240 | 62 | 123 | 1.236 | 0.646     |
| 5.966    | 0.441 | 0.377              | 0.507              | 0.798 | 0.749              | 0.839              | 0.614 | 0.662 | 2.183 | 0.701 | 97 | 241 | 61 | 123 | 1.239 | 0.648     |
| 5.967    | 0.436 | 0.373              | 0.502              | 0.798 | 0.749              | 0.839              | 0.611 | 0.660 | 2.160 | 0.706 | 96 | 241 | 61 | 124 | 1.234 | 0.646     |
| 6.034    | 0.432 | 0.368              | 0.498              | 0.798 | 0.749              | 0.839              | 0.609 | 0.658 | 2.138 | 0.712 | 95 | 241 | 61 | 125 | 1.230 | 0.644     |
| 6.048    | 0.427 | 0.364              | 0.493              | 0.798 | 0.749              | 0.839              | 0.606 | 0.657 | 2.115 | 0.718 | 94 | 241 | 61 | 126 | 1.225 | 0.642     |
| 6.057    | 0.427 | 0.364              | 0.493              | 0.801 | 0.752              | 0.842              | 0.610 | 0.658 | 2.151 | 0.715 | 94 | 242 | 60 | 126 | 1.229 | 0.644     |
| 6.061    | 0.423 | 0.359              | 0.489              | 0.801 | 0.752              | 0.842              | 0.608 | 0.656 | 2.128 | 0.720 | 93 | 242 | 60 | 127 | 1.224 | 0.642     |
| 6.072    | 0.418 | 0.355              | 0.484              | 0.801 | 0.752              | 0.842              | 0.605 | 0.654 | 2.105 | 0.726 | 92 | 242 | 60 | 128 | 1.220 | 0.640     |
| 6.088    | 0.414 | 0.351              | 0.480              | 0.801 | 0.752              | 0.842              | 0.603 | 0.652 | 2.082 | 0.732 | 91 | 242 | 60 | 129 | 1.215 | 0.638     |
| 6.125    | 0.409 | 0.346              | 0.475              | 0.801 | 0.752              | 0.842              | 0.600 | 0.651 | 2.059 | 0.737 | 90 | 242 | 60 | 130 | 1.210 | 0.636     |
| 6.167    | 0.409 | 0.346              | 0.475              | 0.805 | 0.756              | 0.845              | 0.604 | 0.651 | 2.094 | 0.734 | 90 | 243 | 59 | 130 | 1.214 | 0.638     |
| 6.175    | 0.409 | 0.346              | 0.475              | 0.808 | 0.759              | 0.848              | 0.608 | 0.652 | 2.130 | 0.731 | 90 | 244 | 58 | 130 | 1.217 | 0.640     |
| 6.175    | 0.405 | 0.342              | 0.471              | 0.808 | 0.759              | 0.848              | 0.605 | 0.651 | 2.106 | 0.737 | 89 | 244 | 58 | 131 | 1.212 | 0.638     |
| 6.210    | 0.400 | 0.338              | 0.466              | 0.808 | 0.759              | 0.848              | 0.603 | 0.649 | 2.083 | 0.743 | 88 | 244 | 58 | 132 | 1.208 | 0.636     |
| 6.285    | 0.395 | 0.333              | 0.461              | 0.808 | 0.759              | 0.848              | 0.600 | 0.647 | 2.059 | 0.748 | 87 | 244 | 58 | 133 | 1.203 | 0.634     |
| 6.300    | 0.395 | 0.333              | 0.461              | 0.811 | 0.763              | 0.851              | 0.604 | 0.648 | 2.095 | 0.745 | 87 | 245 | 57 | 133 | 1.207 | 0.636     |
| 6.305    | 0.395 | 0.333              | 0.461              | 0.815 | 0.767              | 0.854              | 0.608 | 0.649 | 2.133 | 0.742 | 87 | 246 | 56 | 133 | 1.210 | 0.638     |
| 6.417    | 0.391 | 0.329              | 0.457              | 0.815 | 0.767              | 0.854              | 0.606 | 0.647 | 2.108 | 0.748 | 86 | 246 | 56 | 134 | 1.205 | 0.636     |
| 6.455    | 0.386 | 0.325              | 0.452              | 0.815 | 0.767              | 0.854              | 0.603 | 0.646 | 2.084 | 0.753 | 85 | 246 | 56 | 135 | 1.201 | 0.634     |
| 6.460    | 0.382 | 0.320              | 0.448              | 0.815 | 0.767              | 0.854              | 0.600 | 0.644 | 2.059 | 0.759 | 84 | 246 | 56 | 136 | 1.196 | 0.632     |
| 6.497    | 0.377 | 0.316              | 0.443              | 0.815 | 0.767              | 0.854              | 0.597 | 0.642 | 2.035 | 0.764 | 83 | 246 | 56 | 137 | 1.192 | 0.630     |
| 6.500    | 0.373 | 0.312              | 0.438              | 0.815 | 0.767              | 0.854              | 0.594 | 0.641 | 2.010 | 0.770 | 82 | 246 | 56 | 138 | 1.187 | 0.628     |
| 6.516    | 0.368 | 0.307              | 0.434              | 0.815 | 0.767              | 0.854              | 0.591 | 0.639 | 1.986 | 0.776 | 81 | 246 | 56 | 139 | 1.183 | 0.626     |
| 6.538    | 0.368 | 0.307              | 0.434              | 0.818 | 0.770              | 0.857              | 0.596 | 0.640 | 2.022 | 0.773 | 81 | 247 | 55 | 139 | 1.186 | 0.628     |
| 6.543    | 0.364 | 0.303              | 0.429              | 0.818 | 0.770              | 0.857              | 0.593 | 0.638 | 1.997 | 0.778 | 80 | 247 | 55 | 140 | 1.182 | 0.626     |
| 6.556    | 0.364 | 0.303              | 0.429              | 0.821 | 0.774              | 0.860              | 0.597 | 0.639 | 2.034 | 0.775 | 80 | 248 | 54 | 140 | 1.185 | 0.628     |
| 6.606    | 0.364 | 0.303              | 0.429              | 0.825 | 0.777              | 0.863              | 0.602 | 0.640 | 2.072 | 0.772 | 80 | 249 | 53 | 140 | 1.188 | 0.630     |
| 6.679    | 0.359 | 0.299              | 0.425              | 0.825 | 0.777              | 0.863              | 0.598 | 0.638 | 2.046 | 0.777 | 79 | 249 | 53 | 141 | 1.184 | 0.628     |
| 6.770    | 0.355 | 0.294              | 0.420              | 0.825 | 0.777              | 0.863              | 0.595 | 0.637 | 2.020 | 0.783 | 78 | 249 | 53 | 142 | 1.179 | 0.626     |
| 6.813    | 0.350 | 0.290              | 0.415              | 0.825 | 0.777              | 0.863              | 0.592 | 0.635 | 1.994 | 0.788 | 77 | 249 | 53 | 143 | 1.175 | 0.625     |
| 6.816    | 0.350 | 0.290              | 0.415              | 0.828 | 0.781              | 0.866              | 0.597 | 0.636 | 2.033 | 0.785 | 77 | 250 | 52 | 143 | 1.178 | 0.626     |
| 6.822    | 0.350 | 0.290              | 0.415              | 0.831 | 0.784              | 0.869              | 0.602 | 0.637 | 2.073 | 0.782 | 77 | 251 | 51 | 143 | 1.181 | 0.628     |
| 6.857    | 0.345 | 0.286              | 0.411              | 0.831 | 0.784              | 0.869              | 0.598 | 0.635 | 2.046 | 0.788 | 76 | 251 | 51 | 144 | 1.177 | 0.626     |
| 6.875    | 0.345 | 0.286              | 0.411              | 0.834 | 0.788              | 0.872              | 0.603 | 0.636 | 2.087 | 0.784 | 76 | 252 | 50 | 144 | 1.180 | 0.628     |
| 6.930    | 0.341 | 0.282              | 0.406              | 0.834 | 0.788              | 0.872              | 0.600 | 0.635 | 2.059 | 0.790 | 75 | 252 | 50 | 145 | 1.175 | 0.626     |
| 6.935    | 0.341 | 0.282              | 0.406              | 0.838 | 0.792              | 0.875              | 0.605 | 0.636 | 2.101 | 0.787 | 75 | 253 | 49 | 145 | 1.179 | 0.628     |
| 6.951    | 0.336 | 0.277              | 0.401              | 0.838 | 0.792              | 0.875              | 0.602 | 0.634 | 2.073 | 0.792 | 74 | 253 | 49 | 146 | 1.174 | 0.626     |
| 7.076    | 0.336 | 0.277              | 0.401              | 0.841 | 0.795              | 0.878              | 0.607 | 0.635 | 2.116 | 0.789 | 74 | 254 | 48 | 146 | 1.177 | 0.628     |
| 7.080    | 0.336 | 0.277              | 0.401              | 0.844 | 0.799              | 0.881              | 0.612 | 0.636 | 2.161 | 0.786 | 74 | 255 | 47 | 146 | 1.181 | 0.630     |
| 7.167    | 0.336 | 0.277              | 0.401              | 0.848 | 0.802              | 0.884              | 0.617 | 0.637 | 2.208 | 0.783 | 74 | 256 | 46 | 146 | 1.184 | 0.632     |
| 7.307    | 0.336 | 0.277              | 0.401              | 0.851 | 0.806              | 0.887              | 0.622 | 0.638 | 2.257 | 0.780 | 74 | 257 | 45 | 146 | 1.187 | 0.634     |
| 7.313    | 0.332 | 0.273              | 0.397              | 0.851 | 0.806              | 0.887              | 0.619 | 0.636 | 2.227 | 0.785 | 73 | 257 | 45 | 147 | 1.183 | 0.632     |
| 7.391    | 0.332 | 0.273              | 0.397              | 0.854 | 0.810              | 0.890              | 0.624 | 0.637 | 2.277 | 0.782 | 73 | 258 | 44 | 147 | 1.186 | 0.634     |
| 7.393    | 0.327 | 0.269              | 0.392              | 0.854 | 0.810              | 0.890              | 0.621 | 0.635 | 2.246 | 0.787 | 72 | 258 | 44 | 148 | 1.182 | 0.632     |
| 7.402    | 0.327 | 0.269              | 0.392              | 0.858 | 0.813              | 0.893              | 0.626 | 0.636 | 2.299 | 0.784 | 72 | 259 | 43 | 148 | 1.185 | 0.634     |
| 7.444    | 0.327 | 0.269              | 0.392              | 0.861 | 0.817              | 0.896              | 0.632 | 0.637 | 2.353 | 0.781 | 72 | 260 | 42 | 148 | 1.188 | 0.636     |
| 7.505    | 0.327 | 0.269              | 0.392              | 0.864 | 0.821              | 0.898              | 0.637 | 0.638 | 2.411 | 0.778 | 72 | 261 | 41 | 148 | 1.192 | 0.638     |
| 7.580    | 0.327 | 0.269              | 0.392              | 0.868 | 0.824              | 0.901              | 0.643 | 0.639 | 2.471 | 0.775 | 72 | 262 | 40 | 148 | 1.195 | 0.640     |
| 7.637    | 0.327 | 0.269              | 0.392              | 0.871 | 0.828              | 0.904              | 0.649 | 0.640 | 2.534 | 0.772 | 72 | 263 | 39 | 148 | 1.198 | 0.642     |
| 7.670    | 0.327 | 0.269              | 0.392              | 0.874 | 0.832              | 0.907              | 0.655 | 0.641 | 2.601 | 0.770 | 72 | 264 | 38 | 148 | 1.201 | 0.644     |

| 9.015625 | S     | Lim inferior (95%) | Lim superior (95%) | E     | Lim inferior (95%) | Lim superior (95%) | VPP   | VPN   | LR+   | LR-   | VP | VN  | FP | FN  | S+E   | Precisión |
|----------|-------|--------------------|--------------------|-------|--------------------|--------------------|-------|-------|-------|-------|----|-----|----|-----|-------|-----------|
| 7.714    | 0.323 | 0.265              | 0.387              | 0.874 | 0.832              | 0.907              | 0.651 | 0.639 | 2.565 | 0.775 | 71 | 264 | 38 | 149 | 1.197 | 0.642     |
| 7.763    | 0.318 | 0.260              | 0.383              | 0.874 | 0.832              | 0.907              | 0.648 | 0.638 | 2.529 | 0.780 | 70 | 264 | 38 | 150 | 1.192 | 0.640     |
| 7.791    | 0.314 | 0.256              | 0.378              | 0.874 | 0.832              | 0.907              | 0.645 | 0.636 | 2.493 | 0.785 | 69 | 264 | 38 | 151 | 1.188 | 0.638     |
| 7.815    | 0.314 | 0.256              | 0.378              | 0.877 | 0.835              | 0.910              | 0.651 | 0.637 | 2.560 | 0.782 | 69 | 265 | 37 | 151 | 1.191 | 0.640     |
| 7.887    | 0.309 | 0.252              | 0.373              | 0.877 | 0.835              | 0.910              | 0.648 | 0.635 | 2.523 | 0.787 | 68 | 265 | 37 | 152 | 1.187 | 0.638     |
| 7.973    | 0.309 | 0.252              | 0.373              | 0.881 | 0.839              | 0.913              | 0.654 | 0.636 | 2.593 | 0.784 | 68 | 266 | 36 | 152 | 1.190 | 0.640     |
| 7.989    | 0.309 | 0.252              | 0.373              | 0.884 | 0.843              | 0.916              | 0.660 | 0.637 | 2.667 | 0.781 | 68 | 267 | 35 | 152 | 1.193 | 0.642     |
| 8.083    | 0.309 | 0.252              | 0.373              | 0.887 | 0.846              | 0.918              | 0.667 | 0.638 | 2.745 | 0.779 | 68 | 268 | 34 | 152 | 1.197 | 0.644     |
| 8.092    | 0.309 | 0.252              | 0.373              | 0.891 | 0.850              | 0.921              | 0.673 | 0.639 | 2.829 | 0.776 | 68 | 269 | 33 | 152 | 1.200 | 0.646     |
| 8.127    | 0.309 | 0.252              | 0.373              | 0.894 | 0.854              | 0.924              | 0.680 | 0.640 | 2.917 | 0.773 | 68 | 270 | 32 | 152 | 1.203 | 0.648     |
| 8.179    | 0.305 | 0.248              | 0.368              | 0.894 | 0.854              | 0.924              | 0.677 | 0.638 | 2.874 | 0.778 | 67 | 270 | 32 | 153 | 1.199 | 0.646     |
| 8.195    | 0.300 | 0.243              | 0.364              | 0.894 | 0.854              | 0.924              | 0.673 | 0.637 | 2.831 | 0.783 | 66 | 270 | 32 | 154 | 1.194 | 0.644     |
| 8.300    | 0.300 | 0.243              | 0.364              | 0.897 | 0.857              | 0.927              | 0.680 | 0.638 | 2.923 | 0.780 | 66 | 271 | 31 | 154 | 1.197 | 0.646     |
| 8.301    | 0.300 | 0.243              | 0.364              | 0.901 | 0.861              | 0.930              | 0.688 | 0.638 | 3.020 | 0.777 | 66 | 272 | 30 | 154 | 1.201 | 0.648     |
| 8.405    | 0.295 | 0.239              | 0.359              | 0.901 | 0.861              | 0.930              | 0.684 | 0.637 | 2.974 | 0.782 | 65 | 272 | 30 | 155 | 1.196 | 0.646     |
| 8.414    | 0.291 | 0.235              | 0.354              | 0.901 | 0.861              | 0.930              | 0.681 | 0.636 | 2.928 | 0.787 | 64 | 272 | 30 | 156 | 1.192 | 0.644     |
| 8.417    | 0.291 | 0.235              | 0.354              | 0.904 | 0.865              | 0.933              | 0.688 | 0.636 | 3.029 | 0.784 | 64 | 273 | 29 | 156 | 1.195 | 0.646     |
| 8.466    | 0.286 | 0.231              | 0.350              | 0.904 | 0.865              | 0.933              | 0.685 | 0.635 | 2.982 | 0.789 | 63 | 273 | 29 | 157 | 1.190 | 0.644     |
| 8.603    | 0.282 | 0.227              | 0.345              | 0.904 | 0.865              | 0.933              | 0.681 | 0.633 | 2.935 | 0.794 | 62 | 273 | 29 | 158 | 1.186 | 0.642     |
| 8.645    | 0.277 | 0.222              | 0.340              | 0.904 | 0.865              | 0.933              | 0.678 | 0.632 | 2.887 | 0.800 | 61 | 273 | 29 | 159 | 1.181 | 0.640     |
| 8.651    | 0.273 | 0.218              | 0.335              | 0.904 | 0.865              | 0.933              | 0.674 | 0.630 | 2.840 | 0.805 | 60 | 273 | 29 | 160 | 1.177 | 0.638     |
| 8.684    | 0.268 | 0.214              | 0.331              | 0.904 | 0.865              | 0.933              | 0.670 | 0.629 | 2.793 | 0.810 | 59 | 273 | 29 | 161 | 1.172 | 0.636     |
| 8.825    | 0.268 | 0.214              | 0.331              | 0.907 | 0.869              | 0.935              | 0.678 | 0.630 | 2.893 | 0.807 | 59 | 274 | 28 | 161 | 1.175 | 0.638     |
| 8.920    | 0.264 | 0.210              | 0.326              | 0.907 | 0.869              | 0.935              | 0.674 | 0.628 | 2.844 | 0.812 | 58 | 274 | 28 | 162 | 1.171 | 0.636     |
| 9.016    | 0.259 | 0.206              | 0.321              | 0.907 | 0.869              | 0.935              | 0.671 | 0.627 | 2.794 | 0.817 | 57 | 274 | 28 | 163 | 1.166 | 0.634     |
| 9.111    | 0.255 | 0.202              | 0.316              | 0.907 | 0.869              | 0.935              | 0.667 | 0.626 | 2.745 | 0.822 | 56 | 274 | 28 | 164 | 1.162 | 0.632     |
| 9.140    | 0.250 | 0.197              | 0.312              | 0.907 | 0.869              | 0.935              | 0.663 | 0.624 | 2.696 | 0.827 | 55 | 274 | 28 | 165 | 1.157 | 0.630     |
| 9.216    | 0.245 | 0.193              | 0.307              | 0.907 | 0.869              | 0.935              | 0.659 | 0.623 | 2.647 | 0.832 | 54 | 274 | 28 | 166 | 1.153 | 0.628     |
| 9.318    | 0.245 | 0.193              | 0.307              | 0.911 | 0.872              | 0.938              | 0.667 | 0.624 | 2.745 | 0.829 | 54 | 275 | 27 | 166 | 1.156 | 0.630     |
| 9.359    | 0.245 | 0.193              | 0.307              | 0.914 | 0.876              | 0.941              | 0.675 | 0.624 | 2.851 | 0.826 | 54 | 276 | 26 | 166 | 1.159 | 0.632     |
| 9.371    | 0.245 | 0.193              | 0.307              | 0.917 | 0.880              | 0.944              | 0.684 | 0.625 | 2.965 | 0.823 | 54 | 277 | 25 | 166 | 1.163 | 0.634     |
| 9.452    | 0.241 | 0.189              | 0.302              | 0.917 | 0.880              | 0.944              | 0.679 | 0.624 | 2.910 | 0.828 | 53 | 277 | 25 | 167 | 1.158 | 0.632     |
| 9.479    | 0.241 | 0.189              | 0.302              | 0.921 | 0.884              | 0.946              | 0.688 | 0.625 | 3.031 | 0.825 | 53 | 278 | 24 | 167 | 1.161 | 0.634     |
| 9.483    | 0.236 | 0.185              | 0.297              | 0.921 | 0.884              | 0.946              | 0.684 | 0.623 | 2.974 | 0.830 | 52 | 278 | 24 | 168 | 1.157 | 0.632     |
| 9.486    | 0.232 | 0.181              | 0.292              | 0.921 | 0.884              | 0.946              | 0.680 | 0.622 | 2.917 | 0.834 | 51 | 278 | 24 | 169 | 1.152 | 0.630     |
| 9.538    | 0.227 | 0.177              | 0.287              | 0.921 | 0.884              | 0.946              | 0.676 | 0.621 | 2.860 | 0.839 | 50 | 278 | 24 | 170 | 1.148 | 0.628     |
| 9.556    | 0.223 | 0.173              | 0.283              | 0.921 | 0.884              | 0.946              | 0.671 | 0.619 | 2.803 | 0.844 | 49 | 278 | 24 | 171 | 1.143 | 0.626     |
| 9.667    | 0.218 | 0.169              | 0.278              | 0.921 | 0.884              | 0.946              | 0.667 | 0.618 | 2.745 | 0.849 | 48 | 278 | 24 | 172 | 1.139 | 0.625     |
| 9.726    | 0.218 | 0.169              | 0.278              | 0.924 | 0.888              | 0.949              | 0.676 | 0.619 | 2.865 | 0.846 | 48 | 279 | 23 | 172 | 1.142 | 0.626     |
| 9.773    | 0.214 | 0.165              | 0.273              | 0.924 | 0.888              | 0.949              | 0.671 | 0.617 | 2.805 | 0.851 | 47 | 279 | 23 | 173 | 1.137 | 0.625     |
| 9.781    | 0.209 | 0.161              | 0.268              | 0.924 | 0.888              | 0.949              | 0.667 | 0.616 | 2.745 | 0.856 | 46 | 279 | 23 | 174 | 1.133 | 0.623     |
| 9.841    | 0.205 | 0.156              | 0.263              | 0.924 | 0.888              | 0.949              | 0.662 | 0.615 | 2.686 | 0.861 | 45 | 279 | 23 | 175 | 1.128 | 0.621     |
| 9.843    | 0.205 | 0.156              | 0.263              | 0.927 | 0.891              | 0.952              | 0.672 | 0.615 | 2.808 | 0.858 | 45 | 280 | 22 | 175 | 1.132 | 0.623     |
| 9.875    | 0.200 | 0.152              | 0.258              | 0.927 | 0.891              | 0.952              | 0.667 | 0.614 | 2.745 | 0.863 | 44 | 280 | 22 | 176 | 1.127 | 0.621     |
| 9.881    | 0.195 | 0.148              | 0.253              | 0.927 | 0.891              | 0.952              | 0.662 | 0.613 | 2.683 | 0.868 | 43 | 280 | 22 | 177 | 1.123 | 0.619     |
| 9.905    | 0.191 | 0.144              | 0.248              | 0.927 | 0.891              | 0.952              | 0.656 | 0.611 | 2.621 | 0.873 | 42 | 280 | 22 | 178 | 1.118 | 0.617     |
| 9.955    | 0.191 | 0.144              | 0.248              | 0.930 | 0.895              | 0.954              | 0.667 | 0.612 | 2.745 | 0.870 | 42 | 281 | 21 | 178 | 1.121 | 0.619     |
| 9.960    | 0.186 | 0.140              | 0.244              | 0.930 | 0.895              | 0.954              | 0.661 | 0.611 | 2.680 | 0.874 | 41 | 281 | 21 | 179 | 1.117 | 0.617     |
| 9.985    | 0.182 | 0.136              | 0.239              | 0.930 | 0.895              | 0.954              | 0.656 | 0.610 | 2.615 | 0.879 | 40 | 281 | 21 | 180 | 1.112 | 0.615     |
| 10.010   | 0.177 | 0.132              | 0.234              | 0.930 | 0.895              | 0.954              | 0.650 | 0.608 | 2.549 | 0.884 | 39 | 281 | 21 | 181 | 1.108 | 0.613     |

| 9.015625 | S     | Lim inferior (95%) | Lim superior (95%) | E     | Lim inferior (95%) | Lim superior (95%) | VPP   | VPN   | LR+   | LR-   | VP | VN  | FP | FN  | S+E   | Precisión |
|----------|-------|--------------------|--------------------|-------|--------------------|--------------------|-------|-------|-------|-------|----|-----|----|-----|-------|-----------|
| 10.083   | 0.173 | 0.128              | 0.229              | 0.930 | 0.895              | 0.954              | 0.644 | 0.607 | 2.484 | 0.889 | 38 | 281 | 21 | 182 | 1.103 | 0.611     |
| 10.163   | 0.173 | 0.128              | 0.229              | 0.934 | 0.899              | 0.957              | 0.655 | 0.608 | 2.608 | 0.886 | 38 | 282 | 20 | 182 | 1.107 | 0.613     |
| 10.222   | 0.173 | 0.128              | 0.229              | 0.937 | 0.903              | 0.960              | 0.667 | 0.609 | 2.745 | 0.883 | 38 | 283 | 19 | 182 | 1.110 | 0.615     |
| 10.231   | 0.168 | 0.124              | 0.224              | 0.937 | 0.903              | 0.960              | 0.661 | 0.607 | 2.673 | 0.888 | 37 | 283 | 19 | 183 | 1.105 | 0.613     |
| 10.318   | 0.168 | 0.124              | 0.224              | 0.940 | 0.907              | 0.962              | 0.673 | 0.608 | 2.822 | 0.885 | 37 | 284 | 18 | 183 | 1.109 | 0.615     |
| 10.380   | 0.159 | 0.117              | 0.214              | 0.940 | 0.907              | 0.962              | 0.660 | 0.606 | 2.669 | 0.894 | 35 | 284 | 18 | 185 | 1.099 | 0.611     |
| 10.500   | 0.159 | 0.117              | 0.214              | 0.944 | 0.911              | 0.965              | 0.673 | 0.606 | 2.826 | 0.891 | 35 | 285 | 17 | 185 | 1.103 | 0.613     |
| 10.583   | 0.155 | 0.113              | 0.209              | 0.944 | 0.911              | 0.965              | 0.667 | 0.605 | 2.745 | 0.896 | 34 | 285 | 17 | 186 | 1.098 | 0.611     |
| 10.674   | 0.150 | 0.109              | 0.204              | 0.944 | 0.911              | 0.965              | 0.660 | 0.604 | 2.665 | 0.901 | 33 | 285 | 17 | 187 | 1.094 | 0.609     |
| 10.700   | 0.145 | 0.105              | 0.199              | 0.944 | 0.911              | 0.965              | 0.653 | 0.603 | 2.584 | 0.906 | 32 | 285 | 17 | 188 | 1.089 | 0.607     |
| 10.726   | 0.141 | 0.101              | 0.194              | 0.944 | 0.911              | 0.965              | 0.646 | 0.601 | 2.503 | 0.910 | 31 | 285 | 17 | 189 | 1.085 | 0.605     |
| 10.741   | 0.136 | 0.097              | 0.189              | 0.944 | 0.911              | 0.965              | 0.638 | 0.600 | 2.422 | 0.915 | 30 | 285 | 17 | 190 | 1.080 | 0.603     |
| 10.909   | 0.132 | 0.093              | 0.184              | 0.944 | 0.911              | 0.965              | 0.630 | 0.599 | 2.342 | 0.920 | 29 | 285 | 17 | 191 | 1.076 | 0.602     |
| 11.195   | 0.127 | 0.089              | 0.179              | 0.944 | 0.911              | 0.965              | 0.622 | 0.597 | 2.261 | 0.925 | 28 | 285 | 17 | 192 | 1.071 | 0.600     |
| 11.271   | 0.123 | 0.086              | 0.173              | 0.944 | 0.911              | 0.965              | 0.614 | 0.596 | 2.180 | 0.930 | 27 | 285 | 17 | 193 | 1.066 | 0.598     |
| 11.333   | 0.123 | 0.086              | 0.173              | 0.947 | 0.915              | 0.968              | 0.628 | 0.597 | 2.316 | 0.926 | 27 | 286 | 16 | 193 | 1.070 | 0.600     |
| 11.380   | 0.118 | 0.082              | 0.168              | 0.947 | 0.915              | 0.968              | 0.619 | 0.596 | 2.231 | 0.931 | 26 | 286 | 16 | 194 | 1.065 | 0.598     |
| 11.394   | 0.118 | 0.082              | 0.168              | 0.950 | 0.919              | 0.970              | 0.634 | 0.597 | 2.379 | 0.928 | 26 | 287 | 15 | 194 | 1.069 | 0.600     |
| 11.642   | 0.114 | 0.078              | 0.163              | 0.950 | 0.919              | 0.970              | 0.625 | 0.595 | 2.288 | 0.933 | 25 | 287 | 15 | 195 | 1.064 | 0.598     |
| 11.758   | 0.109 | 0.074              | 0.158              | 0.950 | 0.919              | 0.970              | 0.615 | 0.594 | 2.196 | 0.937 | 24 | 287 | 15 | 196 | 1.059 | 0.596     |
| 11.762   | 0.105 | 0.070              | 0.153              | 0.950 | 0.919              | 0.970              | 0.605 | 0.593 | 2.105 | 0.942 | 23 | 287 | 15 | 197 | 1.055 | 0.594     |
| 11.848   | 0.105 | 0.070              | 0.153              | 0.954 | 0.923              | 0.973              | 0.622 | 0.594 | 2.255 | 0.939 | 23 | 288 | 14 | 197 | 1.058 | 0.596     |
| 11.900   | 0.105 | 0.070              | 0.153              | 0.957 | 0.927              | 0.975              | 0.639 | 0.595 | 2.429 | 0.936 | 23 | 289 | 13 | 197 | 1.061 | 0.598     |
| 11.935   | 0.100 | 0.067              | 0.148              | 0.957 | 0.927              | 0.975              | 0.629 | 0.593 | 2.323 | 0.940 | 22 | 289 | 13 | 198 | 1.057 | 0.596     |
| 11.948   | 0.100 | 0.067              | 0.148              | 0.960 | 0.931              | 0.978              | 0.647 | 0.594 | 2.517 | 0.937 | 22 | 290 | 12 | 198 | 1.060 | 0.598     |
| 12.175   | 0.100 | 0.067              | 0.148              | 0.964 | 0.935              | 0.980              | 0.667 | 0.595 | 2.745 | 0.934 | 22 | 291 | 11 | 198 | 1.064 | 0.600     |
| 12.987   | 0.100 | 0.067              | 0.148              | 0.967 | 0.939              | 0.983              | 0.688 | 0.596 | 3.020 | 0.931 | 22 | 292 | 10 | 198 | 1.067 | 0.602     |
| 13.000   | 0.095 | 0.063              | 0.142              | 0.967 | 0.939              | 0.983              | 0.677 | 0.595 | 2.883 | 0.936 | 21 | 292 | 10 | 199 | 1.062 | 0.600     |
| 13.079   | 0.095 | 0.063              | 0.142              | 0.970 | 0.943              | 0.985              | 0.700 | 0.596 | 3.203 | 0.932 | 21 | 293 | 9  | 199 | 1.066 | 0.602     |
| 13.118   | 0.091 | 0.059              | 0.137              | 0.970 | 0.943              | 0.985              | 0.690 | 0.594 | 3.051 | 0.937 | 20 | 293 | 9  | 200 | 1.061 | 0.600     |
| 13.429   | 0.086 | 0.056              | 0.132              | 0.970 | 0.943              | 0.985              | 0.679 | 0.593 | 2.898 | 0.942 | 19 | 293 | 9  | 201 | 1.057 | 0.598     |
| 13.500   | 0.082 | 0.052              | 0.127              | 0.970 | 0.943              | 0.985              | 0.667 | 0.592 | 2.745 | 0.946 | 18 | 293 | 9  | 202 | 1.052 | 0.596     |
| 13.606   | 0.077 | 0.048              | 0.121              | 0.970 | 0.943              | 0.985              | 0.654 | 0.591 | 2.593 | 0.951 | 17 | 293 | 9  | 203 | 1.047 | 0.594     |
| 13.709   | 0.073 | 0.045              | 0.116              | 0.970 | 0.943              | 0.985              | 0.640 | 0.590 | 2.440 | 0.956 | 16 | 293 | 9  | 204 | 1.043 | 0.592     |
| 14.055   | 0.068 | 0.041              | 0.111              | 0.970 | 0.943              | 0.985              | 0.625 | 0.588 | 2.288 | 0.960 | 15 | 293 | 9  | 205 | 1.038 | 0.590     |
| 14.286   | 0.064 | 0.038              | 0.105              | 0.970 | 0.943              | 0.985              | 0.609 | 0.587 | 2.135 | 0.965 | 14 | 293 | 9  | 206 | 1.034 | 0.588     |
| 14.486   | 0.064 | 0.038              | 0.105              | 0.974 | 0.947              | 0.987              | 0.636 | 0.588 | 2.402 | 0.962 | 14 | 294 | 8  | 206 | 1.037 | 0.590     |
| 14.495   | 0.059 | 0.034              | 0.100              | 0.974 | 0.947              | 0.987              | 0.619 | 0.587 | 2.231 | 0.967 | 13 | 294 | 8  | 207 | 1.033 | 0.588     |
| 14.607   | 0.059 | 0.034              | 0.100              | 0.977 | 0.952              | 0.990              | 0.650 | 0.588 | 2.549 | 0.963 | 13 | 295 | 7  | 207 | 1.036 | 0.590     |
| 15.000   | 0.055 | 0.031              | 0.094              | 0.977 | 0.952              | 0.990              | 0.632 | 0.586 | 2.353 | 0.968 | 12 | 295 | 7  | 208 | 1.031 | 0.588     |
| 15.214   | 0.050 | 0.027              | 0.089              | 0.977 | 0.952              | 0.990              | 0.611 | 0.585 | 2.157 | 0.973 | 11 | 295 | 7  | 209 | 1.027 | 0.586     |
| 15.412   | 0.050 | 0.027              | 0.089              | 0.980 | 0.956              | 0.992              | 0.647 | 0.586 | 2.517 | 0.969 | 11 | 296 | 6  | 209 | 1.030 | 0.588     |
| 16.072   | 0.045 | 0.024              | 0.083              | 0.980 | 0.956              | 0.992              | 0.625 | 0.585 | 2.288 | 0.974 | 10 | 296 | 6  | 210 | 1.026 | 0.586     |
| 16.237   | 0.041 | 0.021              | 0.077              | 0.980 | 0.956              | 0.992              | 0.600 | 0.584 | 2.059 | 0.979 | 9  | 296 | 6  | 211 | 1.021 | 0.584     |
| 16.311   | 0.036 | 0.018              | 0.072              | 0.980 | 0.956              | 0.992              | 0.571 | 0.583 | 1.830 | 0.983 | 8  | 296 | 6  | 212 | 1.016 | 0.582     |
| 17.254   | 0.036 | 0.018              | 0.072              | 0.983 | 0.960              | 0.994              | 0.615 | 0.583 | 2.196 | 0.980 | 8  | 297 | 5  | 212 | 1.020 | 0.584     |
| 17.449   | 0.036 | 0.018              | 0.072              | 0.987 | 0.965              | 0.996              | 0.667 | 0.584 | 2.745 | 0.977 | 8  | 298 | 4  | 212 | 1.023 | 0.586     |
| 18.118   | 0.036 | 0.018              | 0.072              | 0.990 | 0.969              | 0.998              | 0.727 | 0.585 | 3.661 | 0.973 | 8  | 299 | 3  | 212 | 1.026 | 0.588     |
| 18.125   | 0.036 | 0.018              | 0.072              | 0.993 | 0.974              | 1.000              | 0.800 | 0.586 | 5.491 | 0.970 | 8  | 300 | 2  | 212 | 1.030 | 0.590     |
| 19.857   | 0.032 | 0.014              | 0.066              | 0.993 | 0.974              | 1.000              | 0.778 | 0.585 | 4.805 | 0.975 | 7  | 300 | 2  | 213 | 1.025 | 0.588     |

| 9.015625  | S     | Lim inferior (95%) | Lim superior (95%) | E     | Lim inferior (95%) | Lim superior (95%) | VPP   | VPN   | LR+   | LR-   | VP | VN  | FP | FN  | S+E   | Precisión |
|---|-------|--------------------|--------------------|-------|--------------------|--------------------|-------|-------|-------|-------|----|-----|----|-----|-------|-----------|
| 14.486  | 0.064 | 0.038              | 0.105              | 0.974 | 0.947              | 0.987              | 0.636 | 0.588 | 2.402 | 0.962 | 14 | 294 | 8  | 206 | 1.037 | 0.590     |
| 14.495  | 0.059 | 0.034              | 0.100              | 0.974 | 0.947              | 0.987              | 0.619 | 0.587 | 2.231 | 0.967 | 13 | 294 | 8  | 207 | 1.033 | 0.588     |
| 14.607  | 0.059 | 0.034              | 0.100              | 0.977 | 0.952              | 0.990              | 0.650 | 0.588 | 2.549 | 0.963 | 13 | 295 | 7  | 207 | 1.036 | 0.590     |
| 15.000  | 0.055 | 0.031              | 0.094              | 0.977 | 0.952              | 0.990              | 0.632 | 0.586 | 2.353 | 0.968 | 12 | 295 | 7  | 208 | 1.031 | 0.588     |
| 15.214  | 0.050 | 0.027              | 0.089              | 0.977 | 0.952              | 0.990              | 0.611 | 0.585 | 2.157 | 0.973 | 11 | 295 | 7  | 209 | 1.027 | 0.586     |
| 15.412  | 0.050 | 0.027              | 0.089              | 0.980 | 0.956              | 0.992              | 0.647 | 0.586 | 2.517 | 0.969 | 11 | 296 | 6  | 209 | 1.030 | 0.588     |
| 16.072  | 0.045 | 0.024              | 0.083              | 0.980 | 0.956              | 0.992              | 0.625 | 0.585 | 2.288 | 0.974 | 10 | 296 | 6  | 210 | 1.026 | 0.586     |
| 16.237  | 0.041 | 0.021              | 0.077              | 0.980 | 0.956              | 0.992              | 0.600 | 0.584 | 2.059 | 0.979 | 9  | 296 | 6  | 211 | 1.021 | 0.584     |
| 16.311  | 0.036 | 0.018              | 0.072              | 0.980 | 0.956              | 0.992              | 0.571 | 0.583 | 1.830 | 0.983 | 8  | 296 | 6  | 212 | 1.016 | 0.582     |
| 17.254  | 0.036 | 0.018              | 0.072              | 0.983 | 0.960              | 0.994              | 0.615 | 0.583 | 2.196 | 0.980 | 8  | 297 | 5  | 212 | 1.020 | 0.584     |
| 17.449  | 0.036 | 0.018              | 0.072              | 0.987 | 0.965              | 0.996              | 0.667 | 0.584 | 2.745 | 0.977 | 8  | 298 | 4  | 212 | 1.023 | 0.586     |
| 18.118  | 0.036 | 0.018              | 0.072              | 0.990 | 0.969              | 0.998              | 0.727 | 0.585 | 3.661 | 0.973 | 8  | 299 | 3  | 212 | 1.026 | 0.588     |
| 18.125  | 0.036 | 0.018              | 0.072              | 0.993 | 0.974              | 1.000              | 0.800 | 0.586 | 5.491 | 0.970 | 8  | 300 | 2  | 212 | 1.030 | 0.590     |
| 19.857  | 0.032 | 0.014              | 0.066              | 0.993 | 0.974              | 1.000              | 0.778 | 0.585 | 4.805 | 0.975 | 7  | 300 | 2  | 213 | 1.025 | 0.588     |
| 20.167  | 0.032 | 0.014              | 0.066              | 0.997 | 0.979              | 1.000              | 0.875 | 0.586 | 9.609 | 0.971 | 7  | 301 | 1  | 213 | 1.029 | 0.590     |
| 20.886  | 0.027 | 0.011              | 0.060              | 0.997 | 0.979              | 1.000              | 0.857 | 0.584 | 8.236 | 0.976 | 6  | 301 | 1  | 214 | 1.024 | 0.588     |
| 22.321  | 0.023 | 0.008              | 0.054              | 0.997 | 0.979              | 1.000              | 0.833 | 0.583 | 6.864 | 0.981 | 5  | 301 | 1  | 215 | 1.019 | 0.586     |
| 22.875  | 0.018 | 0.006              | 0.048              | 0.997 | 0.979              | 1.000              | 0.800 | 0.582 | 5.491 | 0.985 | 4  | 301 | 1  | 216 | 1.015 | 0.584     |
| 24.987  | 0.014 | 0.003              | 0.042              | 0.997 | 0.979              | 1.000              | 0.750 | 0.581 | 4.118 | 0.990 | 3  | 301 | 1  | 217 | 1.010 | 0.582     |
| 27.705  | 0.009 | 0.001              | 0.035              | 0.997 | 0.979              | 1.000              | 0.667 | 0.580 | 2.745 | 0.994 | 2  | 301 | 1  | 218 | 1.006 | 0.580     |
| 27.857  | 0.009 | 0.001              | 0.035              | 1.000 | 0.984              | 1.000              | 1.000 | 0.581 | +Inf  | 0.991 | 2  | 302 | 0  | 218 | 1.009 | 0.582     |
| 29.583  | 0.005 | 0.000              | 0.028              | 1.000 | 0.984              | 1.000              | 1.000 | 0.580 | +Inf  | 0.995 | 1  | 302 | 0  | 219 | 1.005 | 0.580     |
| 36.829  | 0.000 | 0.000              | 0.021              | 1.000 | 0.984              | 1.000              |       | 0.579 |       | 1.000 | 0  | 302 | 0  | 220 | 1.000 | 0.579     |
| La prueba es positiva si 9.015625 > al valor umbral |       |                    |                    |       |                    |                    |       |       |       |       |    |     |    |     |       |           |